

**МИНИСТЕРСТВО НАУКИ И ВЫСШЕГО ОБРАЗОВАНИЯ
РОССИЙСКОЙ ФЕДЕРАЦИИ
ФЕДЕРАЛЬНОЕ ГОСУДАРСТВЕННОЕ АВТОНОМНОЕ ОБРАЗОВАТЕЛЬНОЕ
УЧРЕЖДЕНИЕ ВЫСШЕГО ОБРАЗОВАНИЯ
«РОССИЙСКИЙ УНИВЕРСИТЕТ ДРУЖБЫ НАРОДОВ»**

Факультет физико-математических и естественных наук

Кафедра прикладной информатики и теории вероятностей

«Допустить к защите»

Заведующий кафедрой
прикладной информатики
и теории вероятностей

д.т.н., профессор

_____ К.Е. Самуйлов

«_____» _____ 20__ г.

**Выпускная квалификационная работа
магистра**

Направление 01.04.02 «Прикладная математика и информатика»

Магистерская программа «Теория вероятностей и математическая статистика»

ТЕМА _____ «Моделирование стохастических систем с запаздыванием»

Выполнила студентка _____ **Апреутесей Анна Мария Юрьевна**

(Фамилия, имя, отчество)

Группа НПМмд-02-19

Студ. билет № 1032193049

Руководитель выпускной
квалификационной работы

Королькова А.В., к.ф.-м.н., доцент,
доцент кафедры прикладной
информатики и теории вероятностей
(Ф.И.О., степень, звание, должность)

(Подпись)

Автор _____
(Подпись)

г. Москва
2021 г.

**Федеральное государственное автономное образовательное учреждение
высшего образования
«Российский университет дружбы народов»**

**АННОТАЦИЯ
выпускной квалификационной работы**

Апреутесей Анны Марии Юрьевны

(фамилия, имя, отчество)

на тему: Моделирование стохастических систем с запаздыванием

Данная работа посвящена моделированию гибридных стохастических систем с запаздыванием, в качестве которой рассматривается система с управлением, состоящей из входящего Transmission Control Protocol (TCP) потока и маршрутизатора, обрабатывающего трафик по алгоритму Random Early Detection (RED). Целью данной работы является моделирование гибридных стохастических систем с запаздыванием посредством Modelica и Julia.

В ходе данной работы было рассмотрено применение гибридного подхода к моделированию стохастических систем с запаздыванием на примере системы передачи данных по протоколу TCP с политикой активного управления очередью, в качестве которой выступает алгоритм RED. В результате моделирования представлена программная реализация данной системы и проведен сравнительный анализ возможностей языков Modelica и Julia по моделированию гибридных стохастических систем с запаздыванием.

Автор ВКР

(Подпись)

(ФИО)

Оглавление

Оглавление	3
Список используемых сокращений	4
Введение	5
1. Методы и анализ моделирования стохастических систем	8
1.1 Обзор исследований в области анализа стохастических систем	8
1.2 Обзор исследований в области моделирования стохастических систем	11
2. Стохастическая система с запаздыванием	15
2.1 Описание процесса передачи трафика с управлением динамической интенсивностью потока по алгоритму типа RED	15
2.2 Математическая модель системы с управлением по алгоритму RED.....	17
3. Моделирование стохастической системы с запаздыванием	23
3.1 Математическое моделирование алгоритма RED	25
3.2 Анализ полученных в ходе моделирования результатов.....	34
Заключение.....	43
Список литературы.....	45
Приложение 1.....	51
Приложение 2.....	53

Список используемых сокращений

Англоязычные сокращения:

AQM	Active Queue Management
cwnd	Source Congestion Window
RED	Random Early Detection
RTT	Round Trip Time
ssthr	Slow Start Threshold
TCP	Transmission Control Protocol
UML	Unified Modeling Language

Русскоязычные сокращения:

СДУ	Система дифференциальных уравнений
-----	------------------------------------

Введение

Данная работа посвящена моделированию гибридных стохастических систем с запаздыванием, в качестве которой рассматривается система с управлением, состоящей из входящего Transmission Control Protocol (TCP) потока и маршрутизатора, обрабатывающего трафик по алгоритму Random Early Detection (RED).

Актуальность работы

Актуальность работы заключается в рассмотрении проблематики компьютерного моделирования стохастических систем, систем с запаздыванием и гибридных систем, сочетающих в себе работу непрерывных элементов и элементов управления с дискретным характером функционирования.

Цель работы

Целью данной работы является моделирование гибридных стохастических систем с запаздыванием посредством Modelica и Julia.

Задачи работы

Основными задачами данной работы являются:

1. Применение гибридного подхода к моделированию стохастических систем с запаздыванием на примере системы передачи данных по протоколу TCP с политикой активного управления очередью, в качестве которого выступает алгоритм RED;
2. Программная реализация модели стохастической системы с запаздыванием на примере системы передачи трафика с регулируемой алгоритмом типа RED динамической интенсивностью потока в средствах Modelica и Julia;
3. Сравнительный анализ возможностей Modelica и Julia по моделированию гибридных стохастических систем с запаздыванием.

Методы исследования

В рамках данной работы применялись следующие методы исследования:

- метод стохастизации одношаговых процессов [43], примененный для описания математической модели передачи трафика с регулируемой алгоритмом типа RED динамической интенсивностью потока;
- решатель DASSL и решатели группы SUNDIALS языка Modelica для решения дифференциальных уравнений;
- библиотека DifferentialEquations.jl, основу которой составляют решатели группы SUNDIALS, для решения дифференциальных стохастических уравнений в Julia;
- метод Эйлера-Маруямы для численного решения СДУ.

Апробация работы

В ходе выполнения работы были получены результаты, представленные на следующих конференциях:

- Всероссийская конференция с международным участием «Информационно-телекоммуникационные технологии и математическое моделирование высокотехнологических систем (ИТТММ)» (Москва, РУДН, 2020 г., 2021 г.);
- VI Международная научно-практическая конференция «Системы управления, технические системы: устойчивость, стабилизация, пути и методы исследования» (Елец, Елецкий государственный университет им. И. А. Бунина, 2020 г.);
- XXIII Международная научная конференция «Распределенные компьютерные и телекоммуникационные сети: управление, вычисление, связь (DCCN-2020)» (Москва, РУДН, 2020 г.);
- VII Международная конференция молодых ученых «Информационные технологии, телекоммуникации и системы управления (ИТТС2020)» (Иннополис, Университет Иннополис, 2020 г.);
- Международная конференция «Математика. Компьютер. Образование» (Дубна, Университет Дубны, 2020 г., 2021 г.)
- VII Всероссийская с международным участием студенческая научно-практическая конференция «New Technology» (Москва, РУДН, 2020 г.)

В рамках научной деятельности принимала участие в конкурсе научно-исследовательских работ и проектов студентов РУДН 2020 г., где заняла I место за научно-исследовательскую работу «Компьютерное моделирование кинетических уравнений в представлении стохастических дифференциальных уравнений».

Публикации

По теме выпускной квалификационной работы магистра были опубликованы работы [1-9]. Также были поданы документы для регистрации программ ЭВМ «Гибридное моделирование алгоритма управления трафиком RED» авторов А.М.Ю. Апреутесей и А.В. Корольковой и «Численное моделирование гибридной системы с запаздыванием» авторов А.М.Ю. Апреутесей и Д.С. Кулябова.

Структура работы

Работа состоит из введения, трех глав, заключения, списка литературы и приложения.

Во введении отражена проблематика выбранной темы, актуальность данного исследования в современном мире, поставлены цели и задачи данной работы.

В первой части выполнен обзор литературных источников, посвященных теме выпускной работы.

Во второй части представлено описание процесса передачи трафика с управлением по алгоритму RED динамической интенсивностью потока и описана математическая модель моделируемой системы.

Третья часть посвящена математическому моделированию гибридной стохастической системы с запаздыванием, в качестве которой рассматривается модель передачи трафика по протоколу TCP с регулируемой алгоритмом типа RED динамической интенсивностью потока. Проводится сравнение полученных реализаций с использованием языков Modelica и Julia, приводятся результаты численного эксперимента.

В Заключении описаны результаты и сделаны выводы по проделанной работе, предложены способы использования результатов данного исследования.

В Приложении представлены полные листинги программ, написанных в ходе подготовки Выпускной квалификационной работы.

1. Методы и анализ моделирования стохастических систем

1.1 Обзор исследований в области анализа стохастических систем

В приведенных ниже литературных источниках рассматриваются работы в области моделирования и анализа стохастических систем. Первыми работами, посвящёнными изучению стохастических моделей, считаются исследования, проведенные в XIX веке ученым Р. Броуном, в которых рассматривалось хаотическое тепловое движение атомов и молекул в жидкости или газе. Основные же задачи стохастической динамики были сформулированы Л.С. Понтрягиным, А.А. Андроновым и А.А. Витте в работе «О статистическом рассмотрении динамических систем» (1933 г.) [10]. Основополагающими работами, посвященными математической теории стохастических дифференциальных уравнений, являются работы С.Н. Бернштейна [11,12], И.И. Гихмана [13-15] и К. Ито [16,17]. Работа авторов И.И. Гихмана и А.В. Скорохода 1982 г. [21] посвящена теории стохастических дифференциальных уравнений. В работе проводятся исследования различных аспектов существования и единственности решений уравнений, рассматриваются проблемы устойчивости, приводятся предельные теоремы, а также изучается асимптотическое поведение решений некоторых классов СДУ.

С середины XX века ученые активно интересуются способами компьютерного решения задач стохастической природы. Так, в работе [18] автор одним из первых вводит понятие стохастического программирования при моделировании и анализе задач линейного программирования со случайными коэффициентами. В это же время активно развивается нелинейное программирование, авторы многих работ, посвященных решению задач стохастического характера, применяют методы нелинейного программирования и известных методов численного моделирования. Однако данный подход не является универсальным, со временем становится понятно, что стохастические задачи требуют своих специфических методов. Так, в работе [19] поднимается проблема необходимости развития стохастических методов поиска экстремума в задачах с ограничениями, при решении которых известные методы нелинейного программирования не применяются, особое внимание автор уделяет задачам стохастического программирования. На примере таких задач, как

моделирование систем массового обслуживания, управление случайными процессами, планирование в условиях неопределенности и других задач математической статистики автор рассматривает стохастические квазиградиентные методы, в некотором смысле объединяющие методы стохастической аппроксимации и случайного поиска [20].

В работе [22] дается обзор численных методов решения стохастических дифференциальных уравнений с винеровским случайным процессом, излагается новый подход к устойчивости сильных и слабых приближенных решений. Авторы обсуждают такие вопросы математического моделирования, как соотношение между слабыми и сильными приближенными решениям стохастических дифференциальных уравнений, порядок точности приближения и вопросы устойчивости конечно-разностных методов в сильном и слабом случаях.

В работе [23] авторы анализирует различные способы построения моделей, описываемых стохастическими дифференциальными уравнениями Ито для случайных динамических систем. В качестве случайных процессов с дискретным временем авторы рассматривает модель взаимодействия молекул в процессе химической реакции, модель распределения длины хлопкового волокна при производстве хлопковой нити, а также влияние вакцинации на популяцию в эпидемиологической модели.

Авторами описаны два подхода к получению стохастического дифференциального уравнения для случайной динамической системы, состоящей из d компонент, где m различных независимых переходов системы из одного состояния в другое происходят в течение малого промежутка времени ($m \geq d$). В первом подходе рассматривается матрица диффузии B размером $d \times d$, во втором – матрица диффузии G размером $d \times m$. Системы стохастических дифференциальных уравнений Ито, полученных в рамках описываемых авторами подходов, дают сопоставимые результаты, решения данных систем обладают одинаковым распределением вероятностей, а пример решения одной системы является примером решения другой системы.

Авторы делают вывод о том, что каждая из рассмотренных процедур имеет как свои преимущества, так и недостатки, и выбор конкретного подхода зависит от поставленной задачи и имеющимися вычислительными мощностями. Первый

подход авторы называют естественным продолжением процедуры моделирования, которая уже в течение многих лет применяется в физике и технике. Так, изменения в детерминированной системе рассматриваются за небольшой интервал времени, дифференциальное уравнение получается, когда приращение времени стремится к нулю. Авторы обращают внимание, что несложно получить сходство между прямыми дифференциальными уравнениями Колмогорова, которым удовлетворяют вероятностные распределения стохастических моделей с дискретным и непрерывным временем, и эти сходства позволяют вывести модель СДУ Ито из дискретной стохастической модели. Однако, в данном подходе требуются вычисления квадратного корня из матрицы, в то время как система, полученная при втором подходе с большей матрицей диффузии, требует менее трудоемких вычислений и, соответственно, является более простой в вычислительном отношении системой при условии, что m не является много большей по отношению к d .

Таким образом, в данной работе авторы демонстрируют способы получения стохастических дифференциальных уравнений для случайных процессов с дискретным временем. С помощью разных подходов получены модели процессов, возникающих в химии, текстильной промышленности и эпидемиологии. В результате анализа полученных моделей и расчетов делается вывод об эквивалентности распределений вероятностей для двух моделей СДУ.

Работа [24] посвящена численному моделированию стохастических систем со скачками на примере некоторых биологических моделей. На основе численных методов Эйлера – Маруямы [25] и метода высшего порядка Милштейна, авторы предлагают усовершенствованный численный метод моделирования стохастических дифференциальных уравнений под управлением пуассоновского процесса. Методы, представленные в данной статье, могут быть использованы для приближенного моделирования СДУ с шумом Леви. Авторами был получен численный метод моделирования траекторий выборки для СДУ, управляемых стационарными пуассоновским процессом, проведено математическое моделирование биологической системы хищник-жертва, имеющий скачкообразный характер функционирования.

Таким образом, можно сделать вывод о том, что на сегодняшний день стоит задача усовершенствования существующих численных методов решения стохастических дифференциальных уравнений, в том числе стохастических дифференциальных уравнений с частными производными, т.к. большинство алгоритмов, используемых для решения обыкновенных дифференциальных уравнений, не применимы для стохастических дифференциальных уравнений различных типов и имеют плохую численную сходимость.

1.2 Обзор исследований в области моделирования стохастических систем

Современные исследователи активно занимаются поиском универсальных и доступных инструментов и языков программирования для моделирования стохастических систем, многими научными командами ведется разработка различного программного обеспечения, способного удовлетворить нужды быстро развивающейся сферы математического моделирования стохастических моделей, обсуждаются достоинства и недостатки использования различного программного для стохастического моделирования.

Повсеместное использование дифференциальных уравнений в качестве инструмента для описания физических явлений, биологических явлений, химических реакций, процессов развития и др. привело к появлению различных наборов решателей, например для языка MATLAB [31], Fortran [32]. В статье [33] описывается популярный набор решателей SUNDIALS, компоненты которого используются в библиотеках языков Julia, Python, C, Fortran и др. для решения различных видов дифференциальных уравнений, приводится сравнительная характеристика таких решателей как CVODE, IDA, KINSOL с точки зрения реализации численных методов решения задач дифференциального моделирования.

Авторы книги [26] демонстрируют способы численного поиска решений систем стохастических дифференциальных уравнений с использованием мощностей суперкомпьютера, т.к. многопоточное моделирование подобных систем требует значительных вычислительных затрат. Авторы демонстрируют возможность использования суперкомпьютеров для распараллеливания алгоритмов решения стохастических дифференциальных уравнений, в частности методов Монте-Карло

[27], на примере библиотеки программ PARMONC, написанной на языке C и включающей блок AMIKS для параметрического анализа полученных решений. Авторами были описаны проводимые эксперименты в различных областях науки, приведены результаты численных расчетов стохастических уравнений, авторами также приведены листинги разработанных в ходе написания работы программ, дан анализ полученных результатов вычислительных экспериментов.

Авторы работы [28] на примере моделирования сложной комплексной системы имитации жилой зоны в здании с подогревом, которая принимает в качестве входных данных результаты стохастического моделирования прогноза погоды и прогнозируемую заполняемость, демонстрируют недостатки языка Modelica при моделировании стохастических систем, а также обращают внимание на сложности, с которыми они столкнулись, а именно отсутствие встроенной возможности стохастического моделирования и необходимость использовать дополнительные программные инструменты в данных целях, а также невозможность принимать во время моделирования входные данные, например от внешних датчиков и контроллеров.

Стремясь обойти ограничения Modelica при стохастическом моделировании, авторы описывают подход к расширению возможностей данного языка. Предложенный подход объединяет стохастическое моделирование в дискретном времени и моделирование, в котором стохастическая модель генерирует входные данные для каждого временного шага модели, однако авторы обращают внимание читателей и разработчиков на то, что описанные способы обойти ограничения языка Modelica не являются универсальными и язык требует доработки и усовершенствования в сфере стохастического моделирования.

Автор работы [29] применяет программное обеспечение, написанное на языке MatLab для демонстрации рассмотренного им подхода численного интегрирования. Данный подход к численному интегрированию дифференциальных уравнений основан на стохастических аналогах формулы Тейлора и специальных методах аппроксимации повторных стохастических интегралов, кроме того, в работе рассматривается среднеквадратическая аппроксимация повторных интегралов Стратоновича и Ито. Рассмотренные подходы численного интегрирования

реализованы в программных комплексах в среде MatLab на примере решения широкого круга математических задач.

Работа [30] посвящена описанию и анализу созданного авторами инструмента моделирования BioSimulator.jl. Данное программное обеспечение применяется для моделирования основного кинетического уравнения, или как его называют в англоязычной литературе – Master equation. Авторы стремились создать быстрый и удобный инструмент для реализации алгоритма Гиллеспи, τ – прыжка и других алгоритмов стохастического моделирования, в результате чего был написан пакет BioSimulator.jl, основными преимуществами которого является простота и быстрая производительность.

Данный пакет написан на основе языка программирования для научных вычислений Julia, в том числе на базе библиотеки DifferentialEquations.jl. Помимо библиотеки Julia для решения дифференциальных уравнений, авторы также использовали инструменты языков C++, Python и R. BioSimulator.jl реализует набор алгоритмов стохастического моделирования, основанных на теории цепей Маркова. Данный программный инструмент дает возможность строить диаграммы сетей Петри, описывающие взаимодействия элементов системы, строить средние траектории и стандартные отклонения каждого участвующего вида с течением времени и создавать частотные распределения каждого вида в заданное время.

Для демонстрации широкой применимости разработанного программного обеспечения авторы моделируют с его помощью уравнение Михаэлиса-Ментен, стохастическую модель рождения – гибели и модель саморегулирующаяся генетической сети.

В работе [34] авторы демонстрируют преимущества и недостатки языка Julia и некоторых ее библиотек, в том числе DifferentialEquations.jl, для решения дифференциальных уравнений различных видов, в том числе стохастических, также авторами рассматривается применение в языке возможностей множественной диспетчеризации и метапрограммирования. Выбор языка Julia авторы обосновывают ограничениями, связанными с другими языками программирования. Многие решатели [31-33] стохастических дифференциальных уравнений, разработанных на раннем этапе развития C и Fortran, не имеют абстракций для обобщенных форматов массивов. В случаях, когда матрица или тензор более высокой размерности являются

представлением дифференциального уравнения, для использования данных решателей пользователю требуется преобразовать моделируемое уравнение в векторное. Более того, эти решатели часто ограничены использованием 640-битных вычислений с плавающей точкой, что ограничивает их использование в приложениях, требующих высокой точности. Векторизованное кодирование, например в рамках NumPy или MATLAB, может не иметь оптимизаций компилятора, которые требуют вывода типа. Это увеличивает вычислительную нагрузку на пользовательские функции, что снижает эффективность решателя.

Julia – сценарный язык, который с точки зрения выполняемых операций может стать заменой таких языков, как R, Python, MATLAB, обеспечивая производительность, присущую низкоуровневым компилируемым языкам. Это позволяет пользователям запускать прототипы в Julia, а также выполнять моделирование сложных систем на одном языке вместо того, чтобы прибегать к использованию нескольких программных средств, зачастую, жертвуя производительностью. Помимо преимуществ языка Julia, авторы описывают текущие ограничения языка, указывают на необходимость более точной документации совместимости и несовместимости библиотек, пакетов и других языков, а также планы дальнейшего развития Julia.

Принимая во внимание вышеописанные работы, представляется интересным рассмотреть применимость для реализации гибридной парадигмы и моделирования стохастических дифференциальных уравнений с запаздыванием объектно-ориентированных языков Julia и Modelica, в основе которых для реализации численных методов решения задач дифференциального моделирования лежат такие решатели как CVODE и IDA.

2. Стохастическая система с запаздыванием

2.1 Описание процесса передачи трафика с управлением динамической интенсивностью потока по алгоритму типа RED

В качестве исследуемой стохастической системы рассмотрим модель процесса регулирования состояния потока при возникновении перегрузок маршрутизатора, в качестве которого рассматривается алгоритм Random Early Detection (RED), при передаче данных по протоколу Transmission Control Protocol (TCP) [35].

Механизм TCP функционирует как транспортный протокол с установлением логического соединения, осуществляет управление потоком данных и исправлением ошибок в сети, используя метод передачи с применением окон. Целость передаваемых данных обеспечивается благодаря механизму дублирования запросов в случае потери данных. В случае получения двух копий одного пакета, протокол устраняет дублирование и уведомляет отправителя о результатах передачи. Процесс работы данного алгоритма контроля и управления перегрузками, регулирующий интенсивность передаваемого потока, состоит из 4 этапов: медленный старт, предотвращение перегрузки, затем быстрая передача и восстановление [36-38]. Стоит отметить, что в разных версиях TCP могут быть использованы не все этапы, либо использованы дополнительные режимы.

Рассматриваемый в модели источник функционирует по протоколу TCP Reno [39]. Переменная *ssth* (Slow Start Threshold, порог медленного старта) используется для перехода от этапа медленного старта к процессу предотвращения перегрузки. При установке нового соединения *ssth* возрастает до максимально возможного размера окна. Режим медленного старта продолжается до тех пор, пока значение *cwnd* (Source Congestion Window, окно перегрузки источника) не станет равным значению *ssth*, после этого происходит переход к состоянию предотвращения перегрузки. Когда происходит отбрасывание пакета, TCP переходит на этап быстрого восстановления или на этап тайм-аута. Основываясь на описании переходов TCP состояний, можно построить UML-диаграмму, демонстрирующую переходы между состояниями (рис. 2.1).

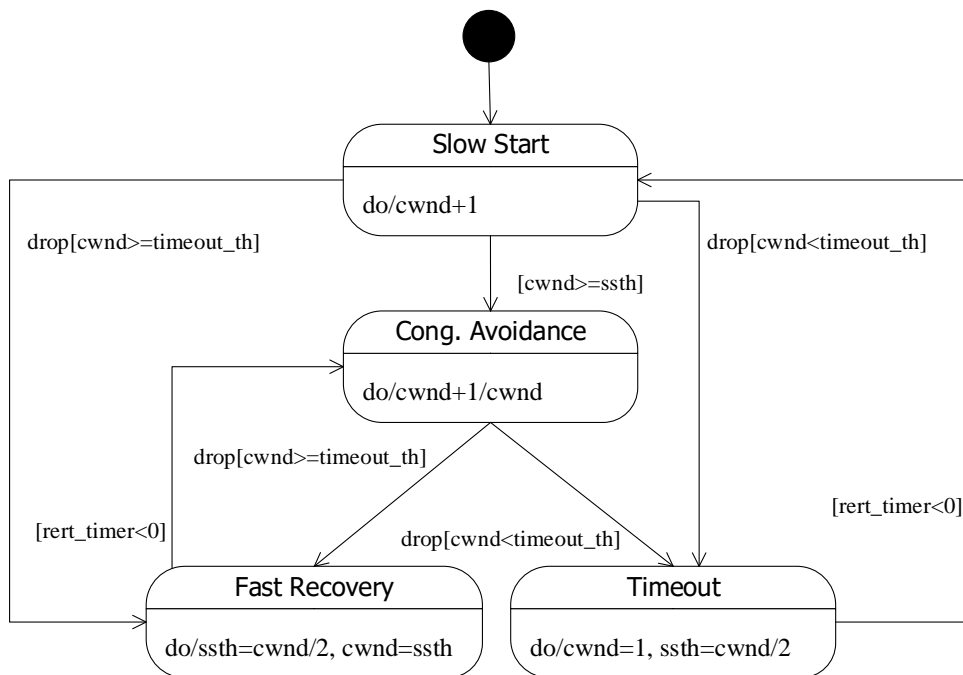


Рисунок 2.1 Диаграмма переходов между состояниями в гибридной модели в протоколе TCP Reno

Однако, в подобных сетях передачи данных имеет место глобальная синхронизация, при которой TCP источники синхронно отправляют пакеты и также синхронно прекращают передачу, при некоторых начальных параметрах системах и настройках маршрутизатора возникает устойчивый автоколебательный режим, который снижает скорость передачи и ухудшает показатели качества обслуживания в сети. Использование для управления трафиком алгоритмов активного управления очередью (AQM) [40], таких как RED, снижает вероятность возникновения глобальной синхронизации, однако не устраняет её полностью, при некоторых значениях начальных параметров в настройках маршрутизаторов в системе возникают автоколебания основных параметров.

Алгоритм RED был разработан для контроля трафика в сети и предотвращения перегрузок в очереди случае их возникновения. Классический алгоритм RED описан в статье [41]. Алгоритмы управления состоянием трафика могут быть представлены как модули управления в сетевом оборудовании, например в маршрутизаторах. При обнаружении затора алгоритмы типа RED начинают случайным образом отбрасывать пакеты прежде, чем весь допустимый размер очереди полностью заполнится. В процессе отбрасывания пакетов RED уведомляет

источник о перегрузке и, тем самым, заставляет TCP подобные протоколы снижать скорость передачи, избегая повторной синхронизации.

Вероятность сброса или навешивания на пакет маркера сброса зависит от пороговых значений очереди маршрутизатора, учитываются минимальное и максимальное значения, т.е. значение, при превышении которого алгоритм начнет выборочно отбрасывать пакеты, избегая тем самым перегрузки и значение, ниже которого алгоритм RED будет пытаться удерживать размер очереди. Подбор корректных начальных значений, в том числе пороговых, обеспечит эффективную работу алгоритма. Если минимальный предел окажется слишком маленьким, это может привести к падению пропускной способности сети, если слишком большим — к увеличению времени пребывания пакетов в очереди, что негативно отразится на качестве обслуживания.

Преимуществом алгоритма RED является не только эффективность его функционирования при корректных начальных параметрах, но и относительно простая реализация на сетевом оборудовании. В системах, где в качестве алгоритма активного управления очередью используется алгоритм RED, протокол TCP достаточно быстро находит подходящую скорость передачи информации, а также удерживает размер очереди и время задержки передачи пакетов на уровне, требуемом для предоставления достойного качества услуг связи [42].

2.2 Математическая модель системы с управлением по алгоритму RED

Опишем процесс передачи TCP трафика, где в качестве алгоритма активного управления очередью выступает RED. Первым элементом моделируемой системы является источник, который генерирует TCP пакеты, второй элемент – получатель, в качестве которого рассматривается очередь маршрутизатора, обрабатывающая поступающие пакеты в соответствии с алгоритмом активного управления очередью RED. В зависимости от длины очереди алгоритм сообщает TCP источнику о необходимости изменить параметры источника, например увеличить или уменьшить размер окна перегрузки TCP.

Для описания математической модели применим метод стохастизации одношаговых процессов, общие принципы которого подробно рассмотрены в работе

[43], для получения же основного кинетического уравнения применяется комбинаторный подход, подробно рассмотренный в работе [44].

В качестве непрерывного вектора состояний выступает $(W, Q, \hat{Q})^T$, где $W := W(t)$ – размер окна ТСР перегрузки, $Q := Q(t)$ – длина очереди маршрутизатора, $\hat{Q} := \hat{Q}(t)$ – экспоненциально взвешенное скользящее среднее длины очереди, которое вводится для некоторого сглаживания выбросов мгновенного значения размера очереди $Q(t)$, функционируя как фильтр низких частот.

Пусть пакеты поступают в систему из источника бесконечной емкости с некоторой интенсивностью k_1^1 , с интенсивностью k_2^1 – покидают систему. Изменение числа пакетов в системе может быть записано в виде кинетических уравнений:

$$\begin{cases} 0 \xrightarrow{k_1^1} W \\ W \xrightarrow{k_2^1} 0. \end{cases} \quad (2.1)$$

Пусть $N_{\underline{i}}^{\alpha}$ и $M_{\underline{i}}^{\alpha}$ – операторы, описывающие число пакетов до и после взаимодействия, тогда оператор перехода $r_{\underline{i}}^{\alpha} = M_{\underline{i}}^{\alpha} - N_{\underline{i}}^{\alpha}$. Получим

$$N_{\underline{i}}^{\alpha} = \begin{pmatrix} 0 \\ 1 \end{pmatrix}, \quad M_{\underline{i}}^{\alpha} = \begin{pmatrix} 1 \\ 0 \end{pmatrix}, \quad r_{\underline{i}}^{\alpha} = \begin{pmatrix} 1 \\ -1 \end{pmatrix}. \quad (2.2)$$

Интенсивности перехода $S_{\alpha}^{+}(x_{\underline{i}})$ – в прямом направлении, $S_{\alpha}^{-}(x_{\underline{i}})$ – в обратном, рассчитываемые по формулам

$$S_{\alpha}^{+}(x_{\underline{i}}) = k_{\alpha}^{+} \prod_{\underline{i}=1}^n \frac{x_{\underline{i}}!}{(x_{\underline{i}} - N_{\underline{i}}^{\alpha})!},$$

$$S_{\alpha}^{-}(x_{\underline{i}}) = k_{\alpha}^{-} \prod_{\underline{i}=1}^n \frac{x_{\underline{i}}!}{(x_{\underline{i}} - M_{\underline{i}}^{\alpha})!},$$

для представленных кинетических реакций имеют вид

$$S_1^{+} = k_1^1, \quad S_2^{+} = k_2^1 W. \quad (2.3)$$

Отсюда выпишем получившиеся коэффициенты уравнения Фоккера-Планка:

$$A^i = S_{\alpha}^{+}(x_{\underline{i}}) r^{\alpha i} = k_1^1 - k_2^1 W,$$

$$B^{ij} = S_{\alpha}^{+}(x_{\underline{i}}) r^{\alpha i} r^{\alpha j} = k_1^1 + k_2^1 W, \quad (2.4)$$

где согласно спецификации ТСП, $k_1^1 = 1/W$, $k_2^1 = \frac{1}{2} \frac{dN}{dt}$, где dN – винеровский процесс.

Уравнение Фоккера-Планка имеет следующий вид

$$\frac{\partial w}{\partial t} = -\frac{\partial}{\partial W} \left[\left(\frac{1}{W} - \frac{W}{2} \frac{dN}{dt} \right) w \right] + \frac{1}{2} \frac{\partial^2}{\partial W^2} \left[\left(\frac{1}{W} + \frac{W}{2} \frac{dN}{dt} \right) w \right], \quad (2.5)$$

где $w := w(t)$ – плотность распределения случайного процесса $W(t)$.

Следовательно, уравнение Ланжевена выражено следующим образом:

$$dW = \frac{1}{W} dt - \frac{W}{2} dN + \sqrt{\frac{1}{T} + \frac{W}{2} \frac{dN}{dt}} dV^1, \quad (2.6)$$

где dV^1 – винеровский процесс, соответствующий случайному процессу $W(t)$.

Аналогичным образом опишем процесс изменения размера очереди маршрутизатора, куда пакеты поступают с интенсивностью k_1^2 , с интенсивностью k_2^2 – покидают систему.

Кинетическое уравнение имеет вид:

$$\begin{cases} 0 \xrightarrow{k_1^2} Q \\ 0 \xrightarrow{k_2^2} Q. \end{cases} \quad (2.7)$$

Опишем операторы состояний:

$$N_{\underline{i}}^{\alpha} = \begin{pmatrix} 0 \\ 0 \end{pmatrix}, \quad M_{\underline{i}}^{\alpha} = \begin{pmatrix} 1 \\ 1 \end{pmatrix}, \quad r_{\underline{i}}^{\alpha} = \begin{pmatrix} 1 \\ 1 \end{pmatrix}. \quad (2.8)$$

Тогда интенсивности переходов имеют вид:

$$S_1^+ = k_1^2, \quad S_2^+ = k_2^2. \quad (2.9)$$

Из этого следует, что коэффициенты уравнения Фоккера-Планка равны

$$\begin{aligned} A^i &= S_{\alpha}^+(x_{\underline{i}}) r^{\alpha i} = k_1^2 - k_2^2, \\ B^{ij} &= S_{\alpha}^+(x_{\underline{i}}) r^{\alpha i} r^{\alpha j} = k_1^1 + k_2^2. \end{aligned} \quad (2.10)$$

Количество поступающих пакетов за единицу времени и есть интенсивность входящего потока $k_1^2 = \frac{W}{T}$. Интенсивность обслуживания есть C , следовательно $k_2^2 = C$.

Тогда, уравнение Фоккера-Планка для размера длины очереди имеет следующий вид:

$$\frac{\partial q}{\partial t} = -\frac{\partial}{\partial Q} \left[\left(\frac{W}{T} - C \right) q \right] + \frac{1}{2} \frac{\partial^2}{\partial Q^2} \left[\left(\frac{W}{T} - C \right) q \right], \quad (2.11)$$

где $q := q(t)$ – плотность распределения случайного процесса $Q(t)$.

Следовательно, уравнение Ланжевена выражено следующим образом:

$$dQ = \left(\frac{W}{T} - C \right) dt + \sqrt{\frac{W}{T} - C} dV^2, \quad (2.12)$$

где dV^2 – винеровский процесс, соответствующий случайному процессу $Q(t)$.

Винеровские процессы dV^1 и dV^2 можно интерпретировать как случайное отклонение размера пакета от своего среднего значения.

Рассматриваемая в данной работе система содержит C приборов, что соответствует скорости обработки C штук пакетов в единицу времени. Также в системе учитываются параметры $N(t)$ – число TCP-сессий и $T(t)$ – время приема-передачи (Round Trip Time, RTT, сек).

Время $T(t)$ рассчитывается следующим образом

$$T(t) = \begin{cases} T_b + \frac{q(t)}{C(t)}, & Q(t) > 0, \\ T_b, & Q(t) = 0, \end{cases} \quad (2.13)$$

$$C(t) = \begin{cases} C, & Q(t) > C \\ Q(t), & Q(t) \leq C, \end{cases}$$

где T_b – время приема-передачи одного пакета (Round Trip Time, сек), $C(t)$ – интенсивность обслуженной нагрузки [45].

Коэффициент w_q рассчитывается как

$$w_q = 1 - e^{-1/C}.$$

Управление алгоритмом RED осуществляется согласно вероятностной функции маркировки на отбрасывание пакетов $P(\hat{Q}(t))$. В статьях [46,47] получена формула для вычисления вероятности сброса пакета:

$$P(\hat{Q}(t)) = \begin{cases} 0, & 0 \leq \hat{Q}(t) < Q_{\min}, \\ \frac{\hat{Q}(t) - Q_{\min}}{Q_{\max} - Q_{\min}} p_{\max}, & Q_{\min} \leq \hat{Q}(t) \leq Q_{\max}, \\ 1, & \hat{Q}(t) > Q_{\max}. \end{cases} \quad (2.14)$$

Данная функция зависит от пороговых значений размера очереди Q_{\min} и Q_{\max} , а также параметра p_{\max} , задающего часть пакетов, которые будут отброшены в случае, если $\hat{Q}(t)$ достигнет максимального значения.

На рисунке 2.2 представлен вид вероятностной функции сброса пакетов в алгоритме RED.

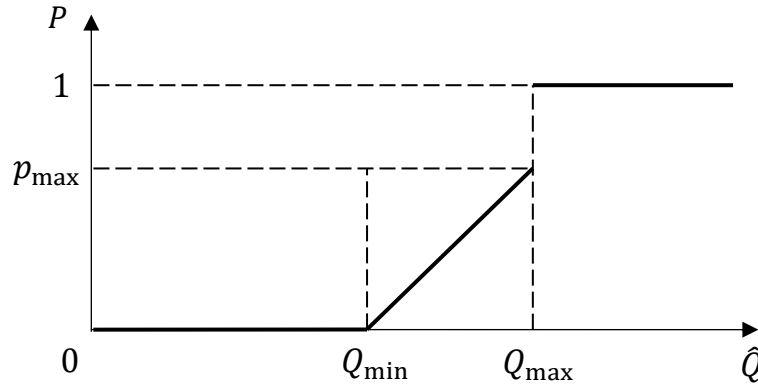


Рисунок 2.2 Вид функции сброса в алгоритме RED

Таким образом, принимая во внимание полученные уравнения (2.6), (2.12) и [47], выпишем стохастическую модель, которая представляет собой систему стохастических дифференциальных уравнений Ито с запаздыванием:

$$\left\{ \begin{array}{l} dW(t) = \left(\frac{1}{T(t)} - \frac{W(t)W(t-T(t))P(t-T(t))}{2T(t-T(t))} \right) dt + \\ \quad + \sqrt{\left(\frac{1}{T(t)} - \frac{W(t)W(t-T(t))P(t-T(t))}{2T(t-T(t))} \right)} dV^1, \\ dQ(t) = \left(\frac{W(t)}{T(t)} N(t) - C(t) \right) dt + \sqrt{\frac{W(t)}{T(t)} N(t) - C(t)} dV^2, \\ d\hat{Q}(t) = w_q C(t) (Q(t) - \hat{Q}(t)). \end{array} \right. \quad (2.15)$$

Таким образом, для моделирования гибридной системы процесса передачи данных по протоколу Transmission Control Protocol (TCP) и регулирования состояния потока при возникновении перегрузок маршрутизатора, в качестве которого рассматривается алгоритм Random Early Detection (RED), требуется использование языка, позволяющего реализовать стохастическую часть модели, запаздывание некоторых элементов системы и использовать гибридный подход, т.к. требуется учитывать особенности непрерывных параметров, таких как изменения длины очереди маршрутизатора $Q(t)$, экспоненциально взвешенного скользящего среднего

длины очереди $\hat{Q}(t)$ и размера ТСП-окна $W(t)$, а также дискретные переходы между ТСП состояниями, запаздывания некоторых переменных и вероятностную функцию сброса пакетов $P(\hat{Q}(t))$.

3. Моделирование стохастической системы с запаздыванием

Гибридные системы могут быть достаточно просто реализованы в специализированных языках моделирования динамических систем, например Modelica [48]. Этот язык хорошо подходит для моделирования комплексных систем, состоящих из элементов различной природы, а также систем с элементами управления. Так, в работах [4, 5, 49, 50] на языке Modelica построена имитационная детерминированная модель системы с управлением по алгоритму типа RED. Гибридная модель состоит из классов, соединенных коннекторами и описывающих поведение следующих элементов системы: TCP-источника, получателя, двух маршрутизаторов, каналов передачи данных и обработку очередей в сети в соответствии с алгоритмом RED. Модель была сформулирована в рамках гибридного подхода, следовательно на языке Modelica реализация вышла достаточно естественной, а именно при помощи высокоуровневых средств была записана система дифференциальных уравнений с запаздывающим аргументом, функция управления реализована как контроллер. Однако данный программный комплекс имеет ряд ограничений, подробно описанных в статье [47], более того Modelica не имеет встроенных универсальных инструментов для моделирования стохастических систем, где важно учитывать случайный характер поведения основных параметров.

В качестве альтернативного языка реализации был выбран язык высокого уровня Julia, обладающий встроенной многопоточностью и разработанный специально для научных и инженерных расчётов [51-53]. Благодаря активному использованию множественной диспетчеризации, метапрограммированию [54], интерфейсов внешних функций (FFI) и перегрузки вызовов DifferentialEquations.jl предлагает производительный унифицированный интерфейс для решения и анализа различных форм дифференциальных уравнений [55]. Множественная диспетчеризация в языке Julia используется для объединения функций, необходимых пользователю для моделирования, например, `solve` и `plot`, гибкость языка обеспечивается высокой совместимостью библиотек и возможностью объединения решателей компонентов и дополнительных пакетов. Также множественная диспетчеризация используется для написания единого универсального метода, который компилируется в специализированные функции в

зависимости от заданных в программе числовых типов. Julia обладает возможностями применения многопоточного расчета внутри методов, которая используется для повышения производительности, и многоузлового параллелизма, применяемого для моделирования стохастических уравнений, например методом Монте-Карло.

Стоит отметить, что язык Julia — это относительно новый язык научных расчетов, что является как его преимуществом, так и недостатком. Проблема заключается в отсутствии полной документации языка, пользователям приходится обходиться лишь примерами запросов и реализаций простых моделей, что значительно усложняет моделирование с использованием Julia. Одни из ведущих разработчиков языка и авторы работы [34] обращают внимание пользователей на то, что в силу гибкости Julia и совместимости с большим объемом программного обеспечения задача создания полной технической документации с подробно описанными методами моделирования не выглядит тривиальной. Данный язык требует высокого профессионализма разработчика и обладание большим объемом знаний в различных аспектах прикладной математики и программирования для разработки сложных моделей, требующих корректировки и переопределения используемых в Julia методов и алгоритмов. С другой стороны, данная проблема порождает множество перспективных научных задач усовершенствования библиотек для сложных, комплексных моделей, создание собственных пакетов, реализующих различные аспекты моделирования, создание технического описания используемых модулей, библиотек и деталей совместимости их с другими программными средствами практически любых языков.

В данной работе активно использовалась библиотека `DifferentialEquations.jl` [55], предназначенная для эффективного решения дифференциальных уравнений различных видов, таких как обыкновенные дифференциальные уравнения, гибридные уравнения, стохастические дифференциальные уравнения Ито, в том числе с запаздывающими аргументами. Данная библиотека наследует возможности нескольких библиотек для решения дифференциальных уравнений, например `DiffEqBase.jl`, `Sundials.jl` [], `StochasticDiffEq.jl`, `DelayDiffEq.jl`, `DiffEqCallbacks.jl`, ссылки на которые будут автоматически установлены в `Pkg.add("DifferentialEquations")`.

Библиотека `DifferentialEquations.jl` имеет встроенные инструменты моделирования стохастических дифференциальных уравнений с винеровским процессом, которые традиционно записываются в форме уравнения Ланжевена. Подобные уравнения состоят из детерминированной и стохастической частей и имеют следующий вид:

$$dx = fdt + gdw, \quad ()$$

где $x := x(t) \in \mathbb{R}$ – некоторый случайный процесс; $f := f(x, t) \in \mathbb{R}$, $g := g(x, t) \in \mathbb{R}$; $W := W(t) \in \mathbb{R}$ – винеровский процесс.

Для многомерного случая

$$dx^i = f^i dt + b_f^i g W^f, \quad (2)$$

где $x^i := x^i(t) \in \mathbb{R}^n$ – n-мерный случайный процесс; $f^i := f^i(x^k, t) \in \mathbb{R}^n \rightarrow \mathbb{R}^n$, $g_f^i := g_f^i(x^k, t) \in \mathbb{R}^n \rightarrow \mathbb{R}^s$; $W^f := W^f(t) \in \mathbb{R}^s$ – s-мерный винеровский процесс.

3.1 Математическое моделирование алгоритма RED

В качестве численно моделируемой стохастической системы с управлением выступает система, функционирующая по алгоритму RED. Полная реализация вычислительной модели системы с управлением по алгоритму типа RED на языках Julia и Modelica представлена в разделах Приложение 1 и Приложение 2.

Рассмотрим псевдокод работы дисциплины RED:

Алгоритм 3.1: Алгоритм RED

```

 $\hat{Q} \leftarrow 0$ 
 $pkgcount \leftarrow -1$ 
while  $packet$  do                                     // Пакеты поступают в систему
     $\hat{Q} \leftarrow QueueAvg()$                                // Расчет переменной  $\hat{Q}$ 
    if  $Q > 0$  then
         $\hat{Q} \leftarrow (1 - w_q)\hat{Q} + w_q Q$ 
    else
         $m \leftarrow f(time - Q_{time})$ 
         $\hat{Q} \leftarrow (1 - w_q)^m \hat{Q}$ 
    end if

    if  $Q_{min} < \hat{Q} < Q_{max}$  then
         $pkgcount \leftarrow pkgcount + 1$ 
         $p \leftarrow p_{max} (\hat{Q} - Q_{min}) / (Q_{max} - Q_{min})$ 
         $p \leftarrow p / (1 - p \cdot pkgcount)$ 

```

```

        Mark(packet, p)           // Вычисление вероятности сброса пакета
        count ← 0
    else if  $\hat{Q} > Q_{\max}$  then
        Mark(packet, 1)
        pkgcount ← 0
    else
        pkgcount ← -1
    end if

    if  $Q = 0$  then  $Q_{\text{time}} \leftarrow \text{time}$ 
    end if
end while

```

Переменные:

- Q — текущая средняя длина очереди;
- \hat{Q} — экспоненциально взвешенное скользящее среднее длины очереди;
- Q_{time} — время, начиная с которого очередь пуста;
- pkgcount — количество пакетов;

Константы:

- w_q — весовой коэффициент;
- Q_{\min} — минимальный порог очереди;
- Q_{\max} — максимальная порог очереди;
- p_{\max} — максимальное значение вероятности сброса p ;

Остальные параметры:

- p — вероятность маркировки пакета как отброшенного;
- time — текущее время;
- $f(t)$ — линейная функция от времени t .

Перейдем к моделированию системы передачи данных по TCP протоколу и обработки очереди в соответствии с алгоритмом RED и сравнению реализаций данной системы на языках Modelica и Julia с упором на последний, так как именно Julia позволяет эффективно моделировать стохастические системы, в Modelica же приведем лишь моделирование детерминированной части вышеописанной системы.

Для установки в Julia пакета DifferentialEquations.jl используем следующую команду в Julia REPL:

```

using Pkg

Pkg.add("DifferentialEquations")

```

Подключим пакет, используя команду:

```
using DifferentialEquations
```

Зададим вектор начальных параметров системы $p = (T, N, C, wq, q_{\min}, q_{\max}, R, p_{\max}, w_{\max})$.

Зададим вероятностную функцию сброса пакетов согласно уравнению (2.14). В Julia реализуем алгоритм управления как отдельную функцию $p(q_{\text{avg}})$ (листинг 3.1).

Листинг 3.1: Вероятностная функция сброса пакетов в Julia

```
function p(q_avg)
    global q_min, q_max
    if (q_avg < q_min * R)
        p = 0.0
    elseif (q_avg > q_max * R)
        p = 1.0
    else
        p = p_max * (q_avg / R - q_min) / (q_max - q_min)
    end
end
```

На языке Modelica дискретная функция задается не как функция, а как уравнение класса RED (листинг 3.2).

Листинг 3.2: Вероятностная функция сброса пакетов в Modelica

```
class Red
equation
p = if q_avg < thmin * R
    then 0.0
else if q_avg > thmax * R
    then 1.0
else (q_avg / R - thmin) * pmax / (thmax - thmin);
```

Для рассматриваемой нами задачи динамическая функция RED, описывающая детерминированную часть системы дифференциальных уравнений (2.15) в Julia будет иметь следующий вид (листинг 3.3):

Листинг 3.3: Функция RED, задающая детерминированную часть СДУ в Julia

```
function RED(du, u, param, t)
    w, q, q_avg = u
    if w < w_max
        du[1] = 1.0 / T(q) - ( w / 2 ) * w * p(q_avg) /
T(q)
    else
        du[1] = - ( w / 2 ) * w * p(q_avg) / T(q)
    end
    du[2] = N * w / T(q) - C(q)
    du[3] = wq * C(q) * (q - q_avg)
end
```

В Modelica математически описывается система дифференциальных уравнений в классе RED в разделе `equation` (листинг 3.4). С помощью оператора `der` задается производная переменной по времени. При моделировании в Modelica стоит помнить, что количество уравнений в разделе `equation` должно совпадать с количеством выходных параметров системы.

Листинг 3.4: Уравнения класса RED, задающие детерминированную часть СДУ в Modelica

```
class Red
    equation
        der(w) = w_add(w, wmax, T) + (-0.5) * w * delay(w, T,
T) * delay(p, T, T) / delay(T, T, T);
        der(q) = q_add(pre(q), w, T, C, N, R);
        der(q_avg) = wq * C * (q - q_avg);
```

Запаздывание на Modelica реализуется достаточно просто с использованием оператора `delay`, в то время как на Julia требуется вводить функцию истории (листинг 3.5), зависящую от вектора параметров $p = (T, N, C, wq, q_{\min}, q_{\max}, R, p_{\max}, w_{\max})$:

Листинг 3.5: Пример реализации запаздывания непрерывной переменной в Julia

```
h(p, t) = zeros(1)
```

```
tau = T
lags = [tau]
```

Далее в Julia определим стохастическую часть системы уравнений (2.15), которая задаётся в функции REDst (листинг 3.6) :

Листинг 3.6: Функция REDst, задающая стохастическую часть СДУ в Julia

```
function REDst(du, u, param, t)
    w, q, q_avg = u
    du[1] = sqrt(1.0 / T(q) + ((w / 2) * w * p(q_avg) /
T(q)))
    if ((N * w / T(q) - C(q)) < 0)
        du[2] = 0.0
    else
        du[2] = sqrt(N * w / T(q) - C(q))
    end
    du[3] = 0.0
end
```

При моделировании гибридных систем на языке Modelica не возникает сложностей с моделированием как элементов с непрерывным характером функционирования, так элементов управления с дискретным поведением. При использовании языка Julia требуются дополнительные инструменты для реализации гибридной парадигмы, а именно использование функции обратных вызовов.

Пакет DifferentialEquations.jl позволяет использовать механизмы внедрения пользовательского кода в алгоритмы решателя с помощью функции обратных вызовов для моделирования сложных функций с условиями и разрывами [34]. Для работы с обратными вызовами определяются две функции – функция условия, или condition function, проверяющая, произошло ли некоторое событие, а также воздействующая функция, или affect function, которая выполняется, если событие произошло.

Задав функцию условия и воздействующую функцию, ограничим рост размера TCP-окна максимальным значением (листинг 3.7, 3.8).

Листинг 3.7: Функция условия для параметра $W(t)$

```
function condition_w_max(u,t,integrator)
    global w_max
    u[1] >= w_max
end
```

Листинг 3.8: Воздействующая функция для параметра $W(t)$

```
function affect_w_max!(integrator)
    global w_max
    for c in full_cache(integrator)
        c.u[1] = w_max
    end
end
```

Также добавим обратные вызовы для контроля роста переменной $Q(t)$ (листинг 3.9, 3.10).

Листинг 3.9: Функция условия для параметра $Q(t)$

```
function condition_Rq(u,t,integrator)
    global R
    u[2] >= R
end
```

Листинг 3.10: Воздействующая функция для параметра $Q(t)$

```
function affect_Rq!(integrator)
    global R
    for c in full_cache(integrator)
        c.u[2] = R
    end
end
```

Опция обратного вызова для экспоненциально взвешенного скользящего среднего длины очереди задаётся аналогичным образом, т.е. ограничим размер переменной $\hat{Q}(t)$ размером очереди (листинг 3.11, 3.12).

Листинг 3.11: Функция условия для параметра $\hat{Q}(t)$

```
function condition_Rq(u,t,integrator)
    global R
    u[2] >= R
end
```

Листинг 3.12: Воздействующая функция для параметра $\hat{Q}(t)$

```
function affect_Rq_avg!(integrator)
    global R
    for c in full_cache(integrator)
        c.u[3] = R
    end
end
```

В данном случае использовалось несколько функций обратных вызовов дискретного типа `DiscreteCallback`, где функция условия реализует обнаружение событий на каждом шаге решения dt , а воздействующая функция выполняется в случае, если функция условия возвращает значение `true`. В качестве альтернативного способа можно использовать опцию обратного вызова непрерывного типа `ContinuousCallback`, где функция условия является непрерывной, а вызов опции обратного вызова инициируется в случае, если функция условия оценивается как 0.

Объявим вызовы заданных функций условия и воздействующих функций для переменных $W(t)$, $Q(t)$, $\hat{Q}(t)$ (листинг 3.13).

Листинг 3.13: Вызов опции обратных вызовов для непрерывных переменных системы

```
cb_w_max = DiscreteCallback(condition_w_max,
    affect_w_max!, save_positions = save_positions)
cb_Rq = DiscreteCallback(condition_Rq, affect_Rq!,
    save_positions = save_positions)
cb_Rq_avg = DiscreteCallback(condition_Rq_avg,
    affect_Rq_avg!, save_positions = save_positions)
```

С помощью инструмента `CallbackSet()` несколько обратных вызовов, в том числе разных типов, могут быть объединены в одну группу (листинг 3.14).

Листинг 3.14. Объединение обратных вызовов

```
Clbsset = CallbackSet(PositiveDomain(), cb_w_max,
cb_Rq, cb_Rq_avg)
```

На языке Modelica контроль над переменными может быть легко осуществлен с помощью объявления отдельной функции (листинг 3.15).

Листинг 3.15. Функция изменения среднего размера очереди в Modelica

```
function q_add
input Real q, w, T, C, N, R;
output Real q_out;
q1 := N * w / T - C;
q2 := q + q1;
q_out := if q2 > R then R - q
          else if q2 > 0.0 then q1
          else -q;
end q_add;
```

Для решения системы и запуска моделирования в Julia после объявления вектора начального состояния и параметров моделирования вызовем решатель SDEProblem пакета DifferentialEquations.jl, в аргументы которого передаётся функция RED, задающая детерминированную часть уравнений, и функция REDst, задающая стохастическую часть системы. Также в аргументах к решателю указывается вектор начальных состояний системы и время моделирования (листинг 3.16).

Листинг 3.16. Вызов решателя СДУ

```
prob_sde_RED = SDEProblem(RED, REDst, u0, tspan)
```

Вызовем метод solve библиотеки DifferentialEquations.jl для решения вышеописанной системы уравнений (листинг 3.17). В качестве численного метода используется метод Эйлера-Маруямы, имеющий сильный порядок детерминированной части $p_d = 1,0$ и порядок приближения стохастической части $p_s = 0,5$:

Листинг 3.17. Вызов метода solve

```
sol = solve(prob_sde_RED, EM(), dt=dt, callback =
Clbsset)
```

Переведем вышеописанную задачу в тип `EnsembleProblem`, используя одноименный конструктор (листинг 3.18). В параметре командной строки `-t/--threads` можно указать количество используемых потоков для многопоточных вычислений, по умолчанию в операционных системах Linux и macOS Julia использует 4 потока. Таким образом, определив функцию `EnsembleThreads()`, подключим использование встроенного параллелизма Julia и смоделируем `trajectories = 200` число траекторий:

Листинг 3.18. Моделирование множества траекторий

```
ensembleprob = EnsembleProblem(prob_sde_RED)
sim = solve(ensembleprob, EnsembleThreads(), EM(),
dt=dt, callback = Clbsset, trajectories = 200)
```

Метод `EnsembleSummary()` дает возможность объединять смоделированное множество траекторий, как по временным шагам `dt`, которые использовались интегратором `solve`, так и по временным точкам, что требует интерполяции решения. Также метод `EnsembleSummary()` позволяет визуализировать статистические параметры, например среднее и дисперсию:

```
summ = EnsembleSummary(sim, 0:dt:tf)
```

По умолчанию используются 5% и 95% значения квантилей.

Таким образом, была представлена реализация детерминированной модели с запаздыванием алгоритма RED на языке Modelica и стохастической системы с запаздыванием — на языке Julia. Оба языка являются объектно-ориентированными, но применяемыми для различных целей. На специализированной для моделирования комплексных систем с управлением реализация модели, сформулированная в рамках гибридного подхода, оказалась достаточно простой, элементы с непрерывным характером функционирования хорошо взаимодействовали с дискретной функцией управления в рамках класса RED раздела `equation`. Ограничения для параметров системы задавались с помощью стандартной функции `when`, запаздывание для элементов любого характера функционирования может быть реализовано с

помощью функции `delay`. Однако, данный язык не обладает встроенными инструментами стохастического моделирования. Язык Julia, который был разработан для научных расчетов, располагает инструментами, такими как библиотека `DifferentialEquations.jl`, для моделирования стохастических систем различных видов, в том числе с запаздыванием. Однако, в обладающей большим количеством синтаксического сахара Julia реализация гибридной парадигмы требует от программиста использования дополнительных инструментов, например опцию обратных вызовов, с помощью которой реализован дополнительный контроль над переменными и взаимодействие с функцией управления.

В следующем разделе рассмотрим результаты, полученные в ходе численного эксперимента, проведенного в рамках программных комплексов на Modelica и Julia.

3.2 Анализ полученных в ходе моделирования результатов

В результате моделирования были получены графики изменения основных параметров системы с модулем управления очередью по алгоритму RED при различных начальных значениях модели.

Как уже отмечалось в [28], в Modelica нет встроенных инструментов для моделирования стохастических уравнений, в качестве результатов моделирования сначала приведем графики поведения основных параметров системы лишь детерминированной части уравнения (2.15). На рисунке 3.1 представлен график, отражающий поведение основных параметров системы $W(t)$, $Q(t)$, $\hat{Q}(t)$ по результатам моделирования на языке Julia детерминированной части уравнения (2.15) при пороговых значениях очереди $Q_{\min} = 0,25$ и $Q_{\max} = 0,5$, на рисунке 3.2 – результаты моделирования на Modelica математической модели сети передачи данных с модулем активного управления трафиком, работающим по алгоритму RED, при тех же пороговых значениях. Из графиков видно, что при данных начальных параметрах в системе присутствуют автоколебания, что негативно влияет на качество обслуживания в сети. Численное моделирование, проведенное в рамках обоих программных комплексов, даёт сопоставимые результаты.

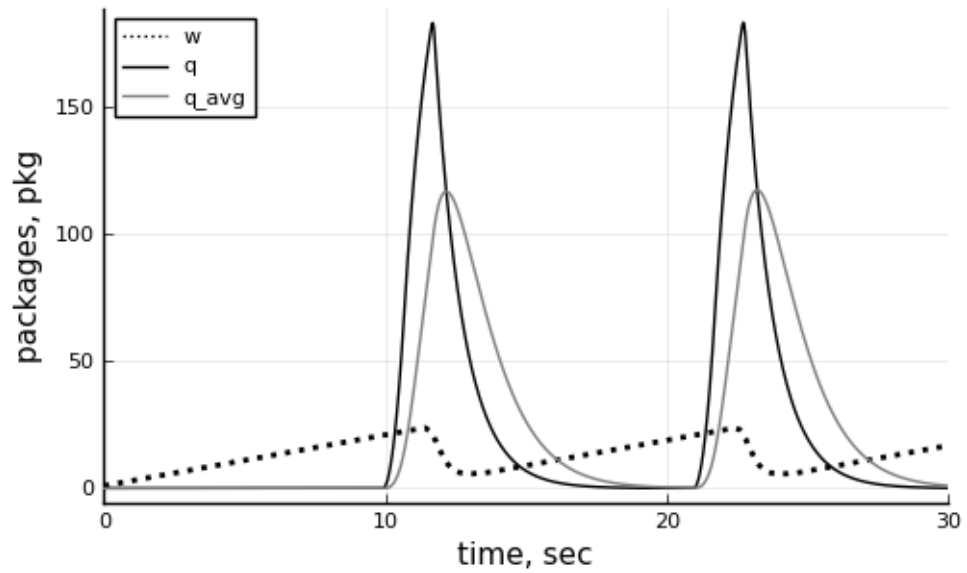


Рисунок 3.1. Поведение параметров $W(t)$, $Q(t)$, $\hat{Q}(t)$ по результатам моделирования на языке Julia ($Q_{min} = 0,25$, $Q_{max} = 0,5$, $g(t, x(t)) = 0$)

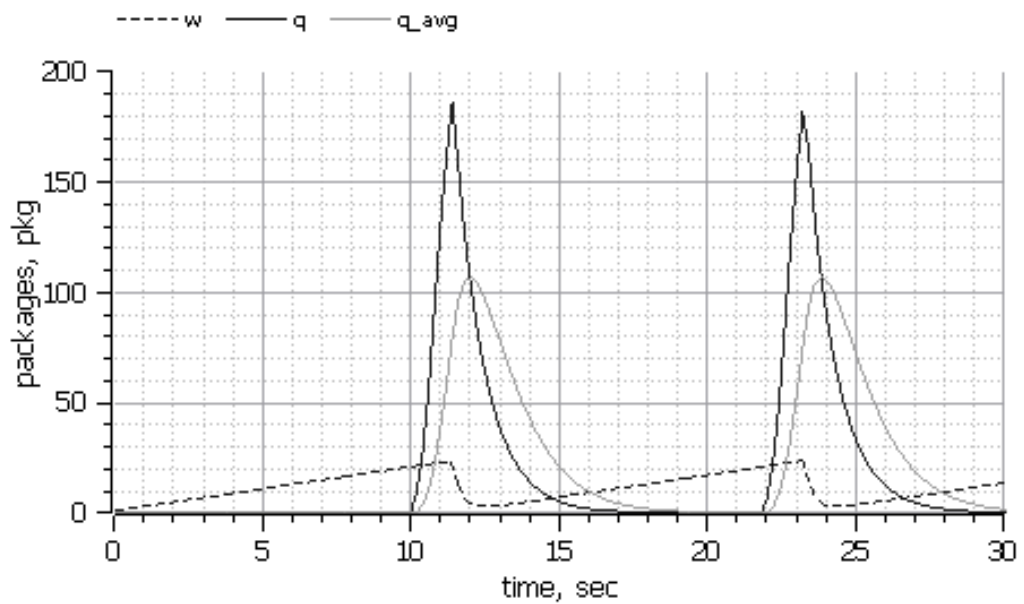


Рисунок 3.2. Поведение параметров $W(t)$, $Q(t)$, $\hat{Q}(t)$ по результатам моделирования на языке Modelica ($Q_{min} = 0,25$, $Q_{max} = 0,5$, $g(t, x(t)) = 0$)

Далее приведем результаты моделирования на языке Julia. При некоторых начальных параметрах система быстро находит подходящие значения переменных и не изменяются, в детерминированном случае, или же изменяются в пределах своих средних значений при стохастической модели. На рис. 3.3, 3.4 демонстрируется поведение параметров $W(t)$ и $Q(t)$ при обнулении стохастической части системы

уравнений (2.15). На рис. 3.5, 3.6 приводится поведение данных параметров стохастической системы уравнений (2.15).

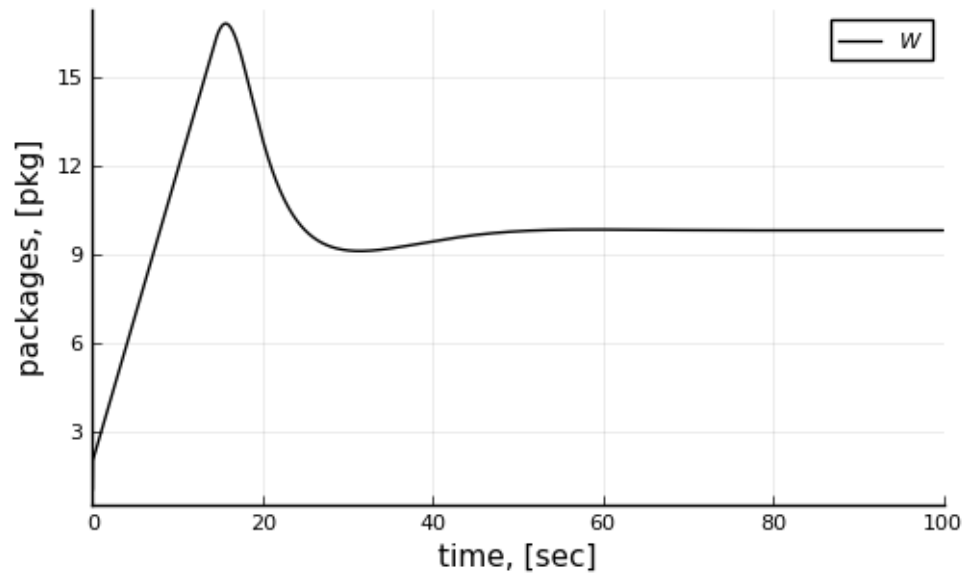


Рисунок 3.3. График изменения размера TCP-окна $W(t)$

$$(Q_{min} = 0,2, Q_{max} = 0,8, g(t, x(t)) = 0)$$

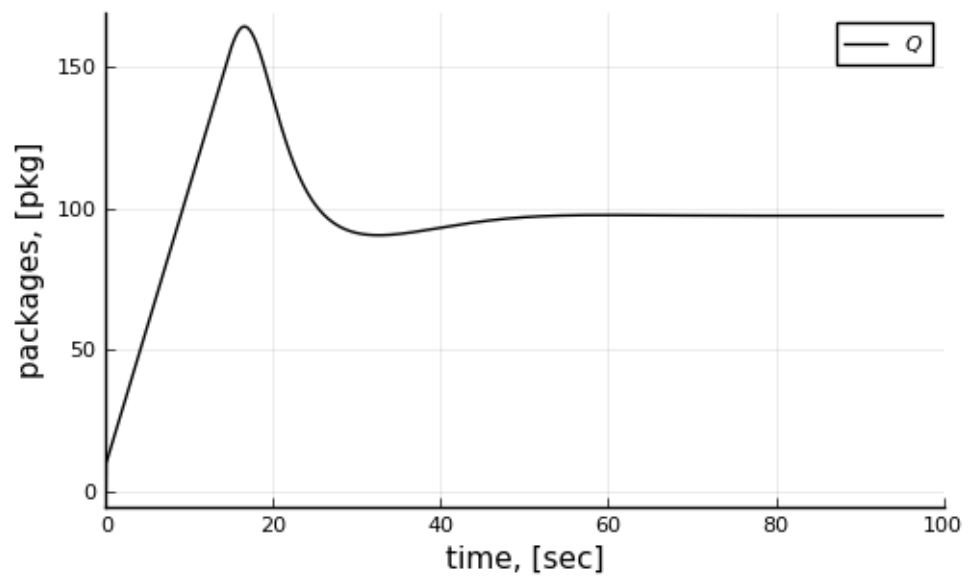


Рисунок 3.4. График изменения средней длины очереди $Q(t)$

$$(Q_{min} = 0,2, Q_{max} = 0,8, g(t, x(t)) = 0)$$

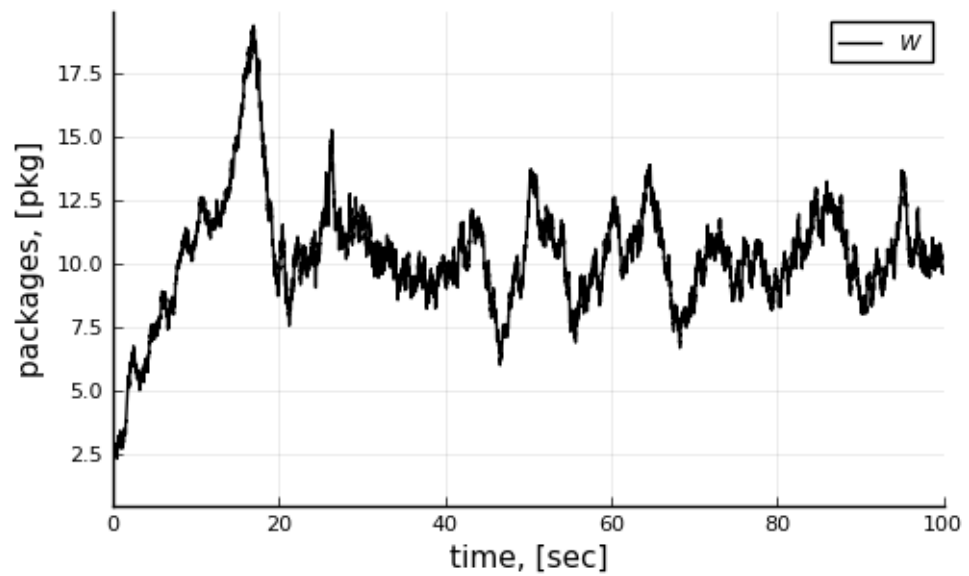


Рисунок 3.5. График изменения размера TCP-окна $W(t)$
 $(Q_{min} = 0,2, Q_{max} = 0,8)$

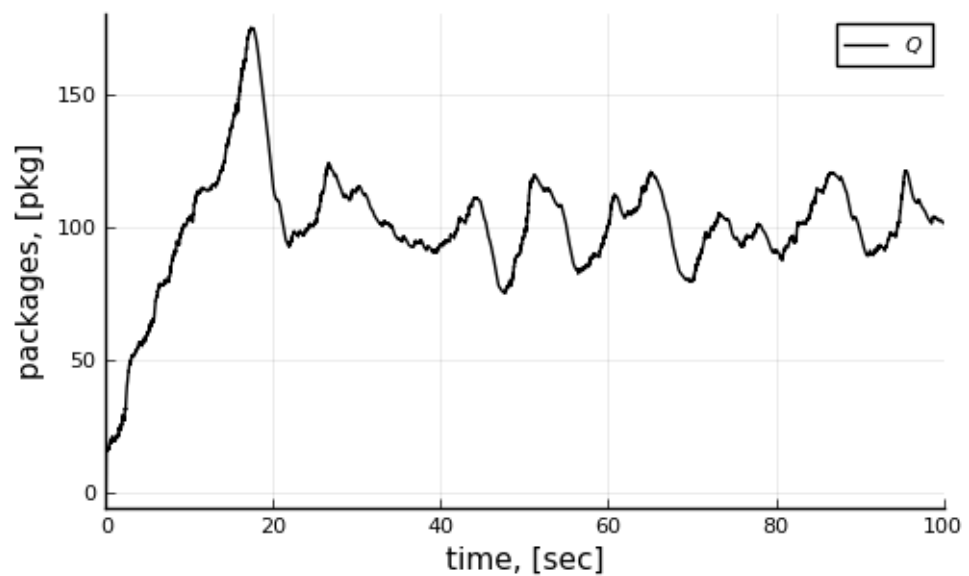


Рисунок 3.6. График изменения средней длины очереди $Q(t)$
 $(Q_{min} = 0,2, Q_{max} = 0,8)$

Смоделируем большое число траекторий и построим среднее и дисперсию (при 5% и 95% перцентилях) на основе полученных результатов в ходе моделирования 200 траекторий.

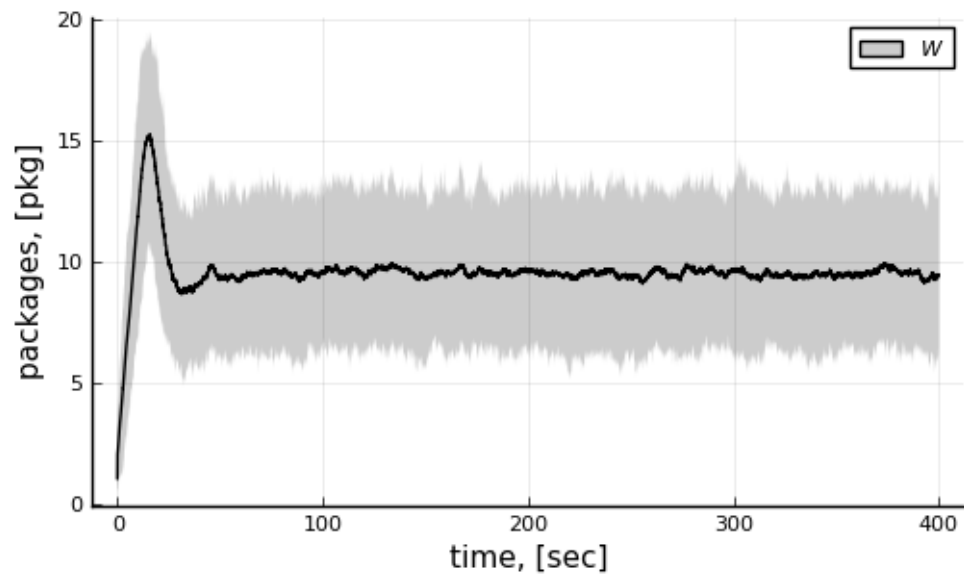


Рисунок 3.7. График среднего по ансамблю (200 траекторий) размера TCP-окна $W(t)$
 $(Q_{min} = 0,2, Q_{max} = 0,8)$

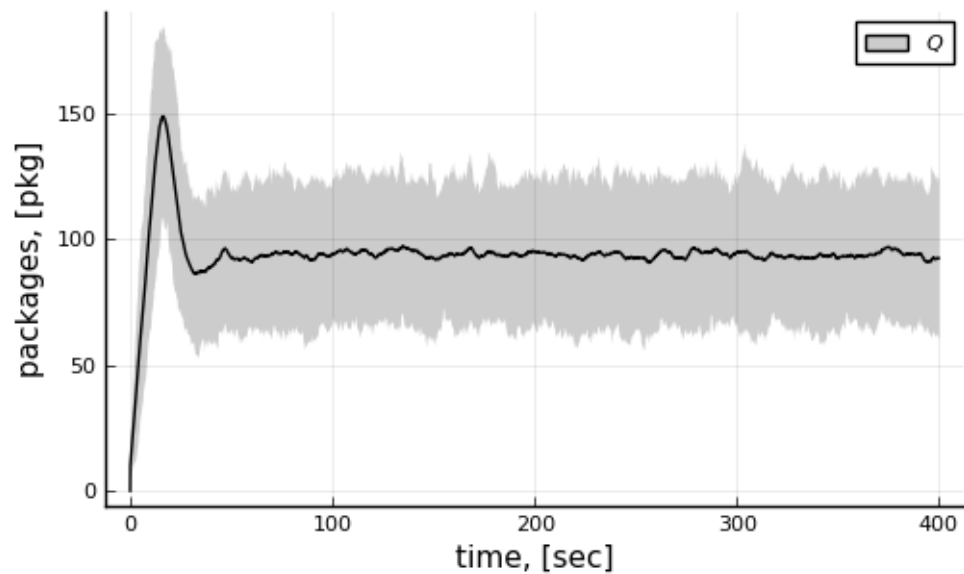


Рисунок 3.8. График среднего по ансамблю (200 траекторий) средней длины очереди $Q(t)$
 $(Q_{min} = 0,2, Q_{max} = 0,8)$

При относительно небольшом промежутке допустимых значений очереди, система переходит в автоколебательный режим функционирования. Так, на рис. 3.9, 3.10 видно присутствие автоколебаний основных параметров системы. На рис. 3.11, 3.12 при добавлении стохастики в модель, параметры так же сильно колеблются.

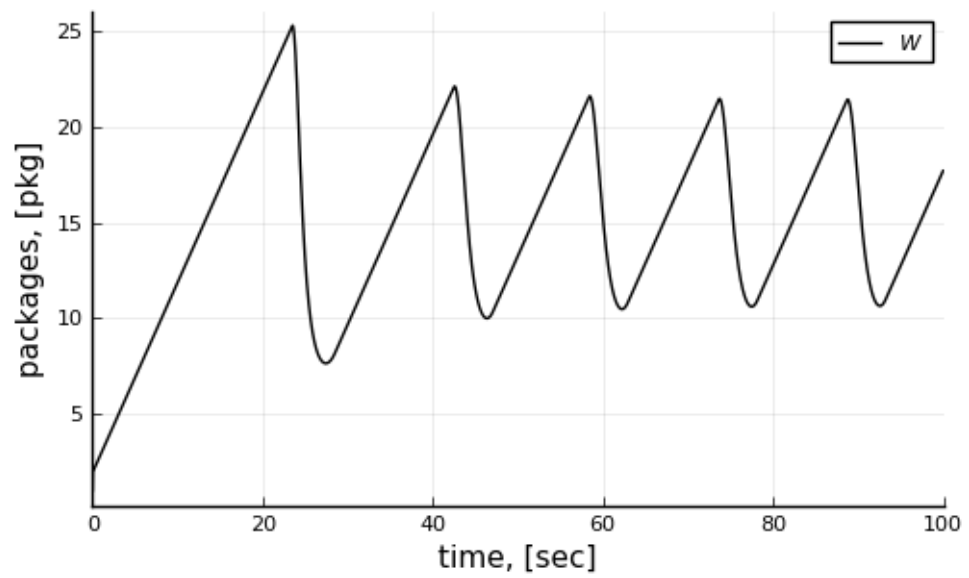


Рисунок 3.9. График изменения размера ТСП-окна $W(t)$

$$(Q_{min} = 0,55, Q_{max} = 0,6, g(t, x(t)) = 0)$$

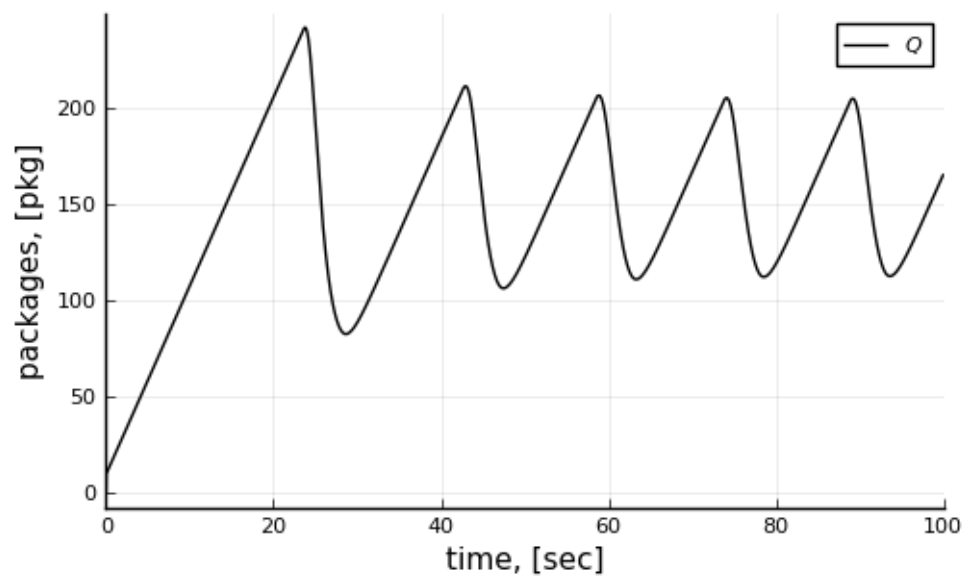


Рисунок 3.10. График изменения средней длины очереди $Q(t)$

$$(Q_{min} = 0,55, Q_{max} = 0,6, g(t, x(t)) = 0)$$

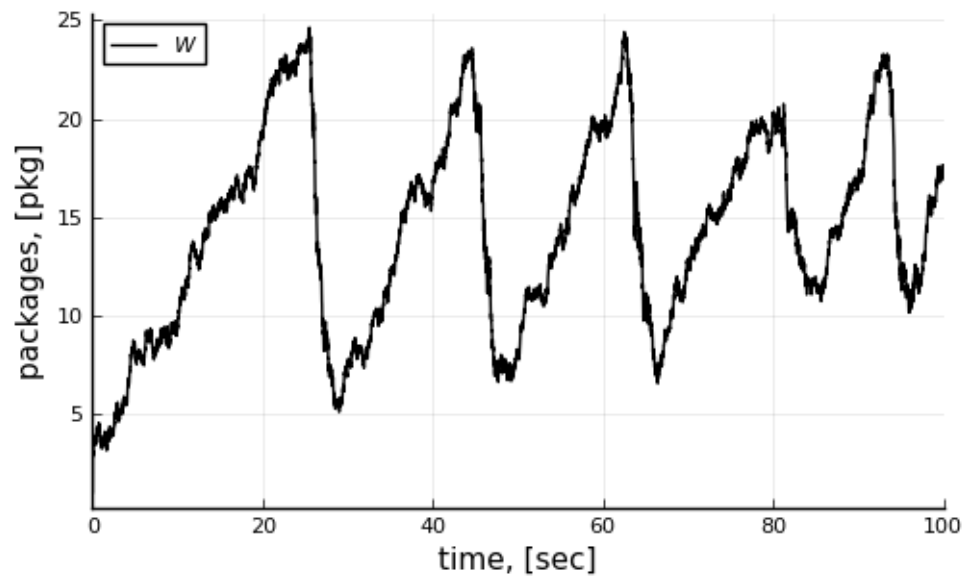


Рисунок 3.11. График изменения размера TCP-окна $W(t)$
 $(Q_{min} = 0,55, Q_{max} = 0,6)$

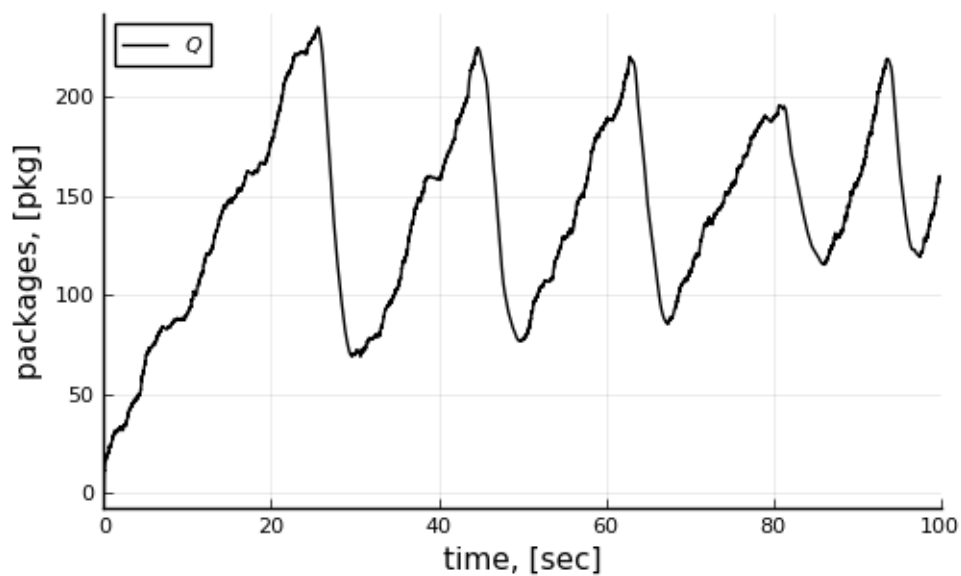


Рисунок 3.12. График изменения средней длины очереди $Q(t)$
 $(Q_{min} = 0,55, Q_{max} = 0,6, g(t, x(t)) = 0)$

Пользуясь возможностями параллельных вычислений в Julia, построим ансамбль траекторий (200 штук) и покажем на графике среднее и дисперсию по ансамблю.

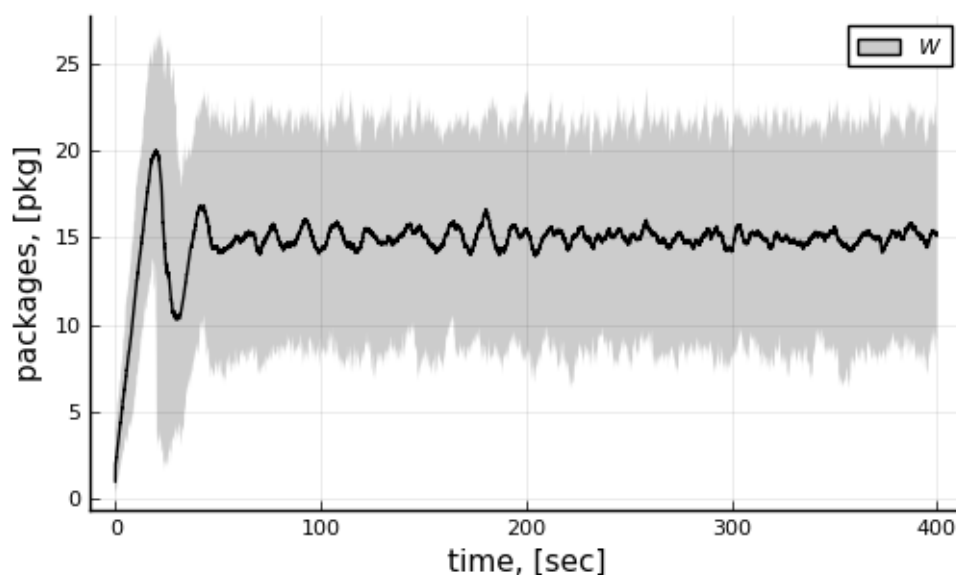


Рисунок 3.13. График среднего по ансамблю (200 траекторий) размера TCP-окна $W(t)$
 $(Q_{min} = 0,55, Q_{max} = 0,6)$

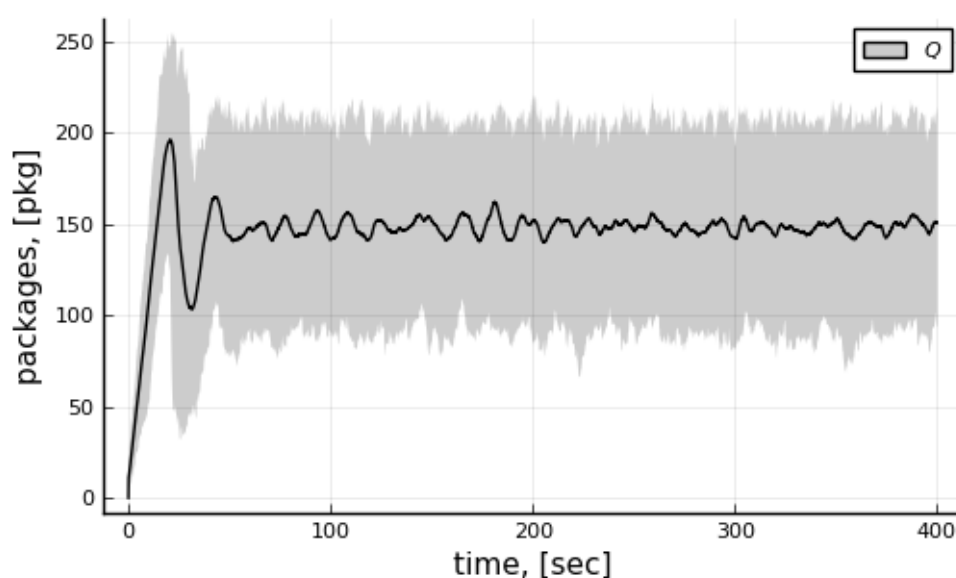


Рисунок 3.14. График среднего по ансамблю (200 траекторий) средней длины очереди $Q(t)$
 $(Q_{min} = 0,55, Q_{max} = 0,6)$

Таким образом, были представлены графики изменения размера окна TCP и среднего размера очереди, полученные в результате численного эксперимента при различных пороговых значениях очереди. Наглядно продемонстрировано, что под управлением алгоритм RED TCP-подобные системы достаточно быстро находят подходящие значения переменных для эффективной работы. Алгоритм RED снижает вероятность возникновения перегрузок в очередях маршрутизатора, однако несмотря на очевидные преимущества его алгоритма, например простота реализации в сетевом оборудовании и эффективное функционирование, в данном

алгоритме возникает устойчивый автоколебательный режим функционирования системы при некоторых начальных параметрах системы, что делает ее поведение менее стабильным, и в свою очередь, отрицательно влияет на показатели качества обслуживания сети.

Заключение

В ходе данной работы был дан литературный обзор, посвященный обзору исследований в области анализа и моделирования стохастических систем, описан принцип взаимодействия передачи данных по протоколу TCP и алгоритмом регулирования состояния потока при возникновении перегрузок, в качестве которого рассматривался RED, представлена математическая модель данной стохастической системы с запаздыванием, полученная в рамках комбинаторного подхода метода стохастизации одношаговых процессов.

В среде OpenModelica на языке программирования Modelica и в среде Atom на языке Julia было проведено математическое моделирование описанной системы, в результате исследования получены два программных комплекса, дающие сопоставимые результаты. В результате численного эксперимента были получены графики изменений основных параметров системы, отражающие факт наличия автоколебательного режима функционирования данная в данной стохастической системе с управлением при некоторых начальных параметрах.

Оба рассматриваемых языка относятся к объектно-ориентированным языкам, однако языка Modelica — специализированный язык моделирования динамических систем, как гибридных, так и непрерывных. Julia же позиционируется как язык, разработанный для реализации научных расчетов, что сказалось на сложности и скорости реализации модели. Система была описана в рамках гибридного подхода, и реализация детерминированной модели на специализированной Modelica была достаточно простой, дискретный контроллер и непрерывные элементы системы хорошо взаимодействовали друг с другом в рамках записанных уравнений и не требовали дополнительного контроля. В языке же Julia для контроля переменных потребовалось использовать дополнительный инструмент, а именно функцию обратных вызовов. Также реализация запаздывающих как непрерывных, так и дискретных переменных осуществлялась с помощью функции `delay`, на языке же Julia требовалось вводить функцию истории `hist`, реализация которой требует от программиста более высокой квалификации, чем при работе с языком Modelica.

Несмотря на преимущества языка Modelica при моделировании детерминированного алгоритма RED, данный язык не пригоден для моделирования

случайных процессов, в стандартной библиотеке OpenModelica нет функций или подпрограмм для генерации псевдослучайных чисел. Julia же направлена на решение более широкого круга задач по сравнению с Modelica. Этот гибкий язык имеет возможности объединения библиотек и решателей, переопределения методов и обладает большим количеством инструментов для научных расчетов, в том числе для стохастического моделирования. Так, в рамках данной работы использовала библиотека `DifferentialEquations.jl`, позволяющая решать различные виды стохастических уравнений. Еще одним преимуществом Julia является встроенная многопоточность расчетов внутри методов, что улучшает производительность программы при моделировании стохастических уравнений.

Таким образом, в рамках данной работы

1. Рассмотрено применение гибридного подхода к моделированию стохастических систем с запаздыванием на примере системы передачи данных по протоколу TCP с политикой активного управления очередью, в качестве которой выступает алгоритм RED;
2. Представлена программная реализация модели стохастической системы с запаздыванием на примере системы передачи трафика с регулируемой алгоритмом типа RED динамической интенсивностью потока в средствах Modelica и Julia;
3. Проведен сравнительный анализ возможностей Modelica и Julia по моделированию гибридных стохастических систем с запаздыванием.

Список литературы

1. Апреутесей А.М.Ю., Федоров А.В., Королькова А.В., Кулябов Д.С. Диаграммное описание для закрытой и открытой модели Шлёгеля // Системы управления, технические системы: устойчивость, стабилизация, пути и методы исследования. Материалы молодежной секции в рамках VI Международной научно-практической конференции, посвященной 100-летию со дня рождения профессора А. А. Шестакова (16–17 сентября 2020 г.). – Елец: Елецкий государственный университет им. И. А. Бунина, 2020. — С. 156–162.
2. Апреутесей А.М.Ю., Королькова А.В., Кулябов Д.С. Возможности гибридного моделирования систем с управлением на языках Modelica и Julia // Распределенные компьютерные и телекоммуникационные сети: управление, вычисление, связь (DCCN-2020): материалы XXIII Международной научной конференции 14–18 сент. 2020 г. – Москва. – С. 434-440.
3. Apreutesey A.M.Y., Korolkova A.V., Kulyabov D.S. Hybrid modelling of the RED algorithm in the Julia language // Journal of Physics: Conference Series. – 2020. – Vol. 1694. – doi:10.1088/1742-6596/1694/1/012025.
4. Apreutesey A.M.Y., Korolkova, A.V., Kulyabov D.S. Modeling RED algorithm modifications in the OpenModelica // CEUR Workshop Proceedings. – 2019. – Vol. 2407. – Pp. 5-14.
5. Apreutesey A.M.Y., Korolkova A.V., Kulyabov D.S. Languages for modeling the RED active queue management algorithms: Modelica vs. Julia // CEUR Workshop Proceedings. – 2020. – Vol. 2639. – Pp. 130-140.
6. Апреутесей А.Ю., Федоров А.В. Применение комбинаторного и операторного подходов к закрытой и открытой модели Шлёгеля // XXVII международная конференция «Математика. Компьютер. Образование»: Сборник трудов международной конференции «Математика. Компьютер. Образование», 2020. – С. 162.
7. Апреутесей А.М.Ю. Математическое моделирование системы с управлением по алгоритму типа RED на языке Julia // Информационно-телекоммуникационные технологии и математическое моделирование высокотехнологичных систем: материалы Всероссийской конференции с

- международным участием. Москва, РУДН, 13–17 апреля 2020 г. – М.: РУДН, 2020. – С. 240-243.
8. Апреутесей А.Ю. Гибридное моделирование нелинейных систем с управлением на языке Julia // XXVIII международная конференция «Математика. Компьютер. Образование»: Сборник трудов международной конференции «Математика. Компьютер. Образование», 2021.
 9. Апреутесей А.М.Ю. Моделирование стохастического алгоритма управления очередями RED на языке Julia // Информационно-телекоммуникационные технологии и математическое моделирование высокотехнологичных систем: материалы Всероссийской конференции с международным участием. Москва, РУДН, 19–23 апреля 2021 г. – М.: РУДН, 2021.
 10. Понтрягин Л.С., Андронов А.А., Витт А.А. О статистическом рассмотрении динамических систем // ЖЭТФ. – 1933. – Т.3, № 3. – С. 165-180.
 11. Бернштейн С.Н. Принципы теории стохастических дифференциальных уравнений // Труды физико-математического института им. В.А. Стеклова, 1933. – Т. 5. – С. 95-124.
 12. Bernstein S.N. Equations diffe'rentielles stochastiques // Act. Sci. et Ind. 738 Conf. Intern. Sci. Math. Univ. Gene've. – Paris: Herman, 1938. – Pp.5-31.
 13. Гихман И.И. Об одной схеме образования случайных процессов // Докл. АН СССР. – 1947. – Т. 58, № 6. – С. 961-964.
 14. Гихман И.И. О некоторых дифференциальных уравнениях со случайными функциями // Укр. мат. журн. – 1950. – Т. 2, № 4. – С. 45-69.
 15. Гихман И.И. К теории дифференциальных уравнений случайных процессов // Укр. мат. журн. – 1950. – Т. 2, № 4. – С. 37-63.
 16. Ito K. Differential equations determining Markov processes // Zenkoku Shijo Sugaka Danwakai, – 1942, – Vol.244, № 1077, – P.1352-1400.
 17. Ito K. Stochastic integral // Proc. Imperial Acad., Tokyo, 1944, – Vol. 20, – Pp. 519-524
 18. Dantzig G.B. Linear Programming under Uncertainty // Management Science. – 1955. – Vol. 1, № 3-4. – Pp. 197-206. – doi:10.1287/mnsc.1.3-4.197
 19. Ермольев Ю.М. Методы стохастического программирования. – М.: Наука, 1976.

20. Растрингин Л.А. Теория статистических методов поиска. – М.: Наука, 1968.
21. Гихман И.И., Скороход А.В. Стохастические дифференциальные уравнения. – Киев: Наукова думка, 1982.
22. Лукшин А.В., Смирнов С.Н. Численные методы решения стохастических дифференциальных уравнений // Математическое моделирование. – 1990. – Т. 2, № 11. – С. 108-121.
23. Allen E.J., Allen L.J.S., Arciniega A., Greenwood P. Construction of equivalent stochastic differential equation models // Stochastic Analysis and Applications. – 2008. – Vol. 26. – Pp. 274-297.
24. Zou X., Wang K. Numerical simulations and modeling for stochastic biological systems with jumps // Communications in Nonlinear Science and Numerical Simulation. – 2014. – Vol.19, №5. – Pp. 1557–1568. – doi:10.1016/j.cnsns.2013.09.010
25. Marujma G. Continuous Markov process and stochastic equations // Rendiconti del Circolo Matematico di Palermo. – 1955. – Vol. 2, № 4. – Pp. 48.
26. Артемьев С.С., Марченко М.А., Корнеев В.Д., Якунин М.А., Иванов А.А., Смирнов Д.Д. Анализ стохастических колебаний методом Монте-Карло на суперкомпьютерах // Рос. акад. наук, Сиб. отд., ИВМиМГ. – Новосибирск: СО РАН, 2016.
27. Wagner W. Unbiased Monte Carlo Evaluation of Certain Functional Integrals // Journal of Computational Physics. – 1987. – Vol. 71, № 1. – Pp. 21-33. – doi:10.1016/0021-9991(87)90017-9.
28. Zhe Wang, Tianzhen Hong, Ruoxi Jia Buildings.Occupants: a Modelica package for modelling occupant behaviour in buildings // Journal of Building Performance Simulation. – 2019. – Vol. 12, № 4. – Pp. 433-444. – doi:10.1080/19401493.2018.1543352.
29. Кузнецов Д.Ф. Стохастические дифференциальные уравнения: теория и практика численного решения. С программами в среде MatLab // Дифференциальные уравнения и процессы управления. – 2017. – № 2. – С. 1001-2000.
30. Landeros A., Stutz T., Keys K., Alekseyenko A., Sinsheimer J.S., Lange K., Sehl M. BioSimulator.jl: Stochastic simulation in Julia // Computer Methods and

- Programs in Biomedicine. – 2018. – Vol. 167. – Pp. 23-25. – doi:10.1016/j.cmpb.2018.09.009.
31. Shampine L.F. Reichelt M.W. The MATLAB ODE suite // SIAM Journal on Scientific Computing. – 1997. – Vol. 18, № 1. – Pp. 1-22. – doi:10.1137/S1064827594276424.
 32. Hairer E., Nørsett S.P., Wanner G. Solving Ordinary Differential Equations I: Nonstiff Problems. – Berlin: Springer-Verlag, 1993.
 33. Hindmarsh A.C., Brown P.N., Grant K.E., Lee S.L., Serban R., Shumaker D.E., Woodward C.S. Sundials: Suite of nonlinear and differential/algebraic equation solvers // ACM Transactions on Mathematical Software. – 2005. – Vol. 31, № 3. – Pp. 363-396. – doi:10.1145/1089014.1089020.
 34. Rackauckas C., Nie Q. DifferentialEquations.jl – A Performant and Feature-Rich Ecosystem for Solving Differential Equations in Julia // Journal of Open Research Software. – 2017. – Vol. 5, № 1. – Pp. 15. – doi:10.5334/jors.151.
 35. TCP Congestion Control. RFC-2581 / Ed. by M. Allman, V. Paxson, W. Stevens. — United States: RFC Editor, 1999.
 36. Jacobson V. Congestion Avoidance and Control // SIGCOMM '88: Symposium Proceedings on Communications Architectures and Protocols. – New York, NY, USA: ACM, 1988. – Pp. 314–329.
 37. Requirements for Internet Hosts – Communication Layers. RFC-1122 / Ed. by R. Braden. – United States: RFC Editor, 1989.
 38. Floyd S. Explicit Congestion Notification (ECN) Mechanism in the TCP/IP Protocol // ACM Computer Communications Review. — 1994. — Vol. 24.
 39. The NewReno Modification to TCP's Fast Recovery Algorithm. RFC-6582 / Ed. by T. Henderson, S. Floyd, A. Gurtov, Y. Nishida. – United States: RFC Editor, 2012.
 40. Breitenacker F. Classification and evaluation of features in advanced simulators / F. Breitenacker, N. Popper // Proceedings MATHMOD-09 Vienna, Full papers CD Volume. – 2009. – Pp. 1445-1467.
 41. Floyd S., Jacobson V. Random Early Detection gateways for congestion avoidance // IEEE / ACM Transactions on Networking. – 1993. – Vol. 1, № 4, – Pp. 397-413.

42. Башарин Г.П., Гайдамака Ю.В., Самуйлов К.Е., Яркина Н.В. Управление качеством и вероятностные модели функционирования сетей связи следующего поколения: Учеб. пособие. – М.: РУДН, 2008.
43. Korolkova A.V., Eferina E.G., Laneev E.B. et al. Stochastization of one-step processes in the occupations number representation // Proceedings - 30th European Conference on Modelling and Simulation, ECMS 2016. – 2016. – Pp. 698-704.
44. Demidova A.V., Korolkova A.V., Kulyabov D.S., Sevastianov L.A. The method of stochastization of one-step processes // Mathematical Modeling and Computational Physics. – JINR, 2013. – P. 67.
45. Королькова А.В., Кулябов Д.С., Черноиванов А.И. К вопросу о классификации алгоритмов RED // Вестник РУДН, серия «Математика. Информатика. Физика». — 2009. — № 3. — С. 34-46.
46. Королькова А.В., Кулябов Д.С. Математическая модель динамики поведения параметров систем типа RED // Вестник РУДН. Серия «Математика. Информатика. Физика». – 2010. – № 2(1). – С. 54-64.
47. Korolkova A.V., Kulyabov D.S., Velieva T.R. and Zaryadov I.S. Essay on the study of the self-oscillating regime in the control system // Proceedings - European Council for Modelling and Simulation 33rd International ECMS Conference on Modelling and Simulation. – 2019. – Vol. 33, № 1. – Pp. 473-480.
48. Modelica Language Specification, Version 3.3. Modelica Association (May 9, 2012) // Режим доступа: URL: <https://www.modelica.org/documents/ModelicaSpec33.pdf>. — (дата обращения: 08.05.2021).
49. Апреутесей А.Ю., Завозина А.В., Королькова А.В., Кулябов Д.С. Вычислительная и имитационная модели системы с управлением на Modelica // Вестник РУДН. Серия «Математика. Информатика. Физика». – 2018. – № 4. – С. 357-370.
50. Апреутесей А.М.Ю., Королькова А.В., Кулябов Д.С. Моделирование модификаций алгоритма RED в среде OpenModelica // Информационно-телекоммуникационные технологии и математическое моделирование высокотехнологичных систем: материалы Всероссийской конференции с международным участием. Москва, РУДН, 15–19 апреля 2019 г. – Москва: РУДН, 2019. – С. 398-406.

51. Bezanson J., Karpinski S., Shah V.B., Edelman A. Julia: A Fast Dynamic Language for Technical Computing. — 2012. — P. 1–27. — arXiv:1209.5145.
52. Bezanson J., Edelman A., Karpinski S., Shah V.B. Julia: A fresh approach to numerical computing // SIAM Review. — 2017. — 1. — Vol. 59, no. 1. — P. 65–98. — arXiv:1411.1607.
53. Joshi A., Lakhanpal R. Learning Julia. – Birmingham-Mumbai: Packt, 2017.
54. Elmqvist H., Henningsson T., Otter M. Systems Modeling and Programming in a Unified Environment Based on Julia // Leveraging Applications of Formal Methods, Verification and Validation: Discussion, Dissemination, Applications. ISoLA 2016. Lecture Notes in Computer Science. 2019. –Vol. 9953. – Pp. 198–217. – doi:10.1007/978-3-319-47169-3_15
55. Rackauckas C., Nie Q. DifferentialEquations.jl – A Performant and Feature-Rich Ecosystem for Solving Differential Equations in Julia // Journal of Open Research Software. — 2017. — Vol. 5. – Pp. 15–25. – doi:10.5334/jors.151

Приложение 1

Программа для ЭВМ «Гибридное моделирование алгоритма управления трафиком RED»

В разработке программы участвовали А.М.Ю. Апреутесей (реализация алгоритма), А.В. Королькова (постановка задачи).

Полный листинг программы:

```
function wAddFunc
input Real wIn;
input Real wmax;
input Real T;
output Real wOut;
algorithm
wOut := if noEvent(wIn >= wmax) then 0.0 else 1.0 /
T;
end wAddFunc;

function qAddFunc
input Real N;
input Real R;
input Real q;
input Real w;
input Real T;
input Real C;
output Real qOut;
protected Real q_add;
protected Real q_new;
algorithm
q_add := N * w / T - C;
q_new := q + q_add;
qOut := if noEvent(q + q_add > 0.0) then q_add else -
q;
end qAddFunc;

class Red
parameter Real N(start = 80.0) «Количество сессий»;
parameter Real c(start = 10.0) «Интенсивность
обслуживания, Mbps»;
parameter Real packet_size(start = 600.0) «Размер
пакета, bit»;
parameter Real T(start = 0.5) «Время двойного
оборота»;
parameter Real thmin(start = 0.25) «Нормализованный
нижний порог»;
parameter Real thmax(start = 0.8) «Нормализованный
```

```

верхний порог»;
parameter Real R(start = 300.0) «Размер очереди»;
parameter Real w_q(start = 0.0004) «Параметр EWMS»;
parameter Real pmax(start = 0.1) «Максимальная
вероятность сброса»;
parameter Real wmax(start = 32.0) «Максимальный
размер окна»;
Real p(start = 1.0) «Вероятность сброса»;
Real w(min = 1.0, max = wmax, start = 1.0, fixed = true)
«Окно»;
Real q(max = R, start = 0.0, fixed = true) «Мгновенная
длина очереди»;
Real q_avg(start = 0.0) «EWMS длины очереди»;
Real C = 125000.0 * c / packet_size «Интенсивность
обслуживания, packets»;

equation
der(w) = wAddFunc(w,wmax,T) - w * delay(w,T) * delay(p,T)
/ (2 * delay(T,T));
der(q) = qAddFunc(pre(q), w, T, C, N, R);
der(q_avg) = w_q * C * (q - q_avg);

p = if ( q_avg < thmin*R ) then 0.0
elseif ( q_avg > thmax*R ) then 1.0
else (q_avg/(R - thmin)) * pmax / (thmax - thmin);

when q >= R then
reinit(q, R);
end when;

when w <= 1.0 then
reinit(w, 1.0);
end when;

end Red;

```

Приложение 2

Программа для ЭВМ «Численное моделирование стохастического алгоритма управления трафиком RED»

В разработке программы участвовали А.М.Ю. Апреутесей (реализация алгоритма), Д.С. Кулябов (постановка задачи).

Полный листинг программы:

```
# подключение библиотек

using DifferentialEquations
using Plots
using LaTeXStrings

# параметры системы

T0 = 0.01 # T
N = 10.0 # N
C0 = 1400 # C
wq = 0.0007 # wq
q_min = 0.55 # q_min
q_max = 0.6 # q_max
R = 300.0 # R
p_max = 0.1 # p_max
w_max = 32.0 # w_max
# вектор начального состояния
param = (T0, N, C0, wq, q_min, q_max, R, p_max, w_max)

# параметры моделирования

tf = 100.0
tspan = (0.0, tf)
dt = 0.01 # dt для метода EM()

# вектор начального состояния системы

u0 = [1.0, 0.0, 0.0]

function C(q)
    if q > C0
        return C0
    else
        return q
    end
end
end
```

```

function T(q)
    if q > 0
        return T0 + q / C(q)
    else # q == 0
        return T0
    end
end

function p(q_avg)
    global q_min, q_max

    if (q_avg < q_min * R)
        p = 0.0
    elseif (q_avg > q_max * R)
        p = 1.0
    else
        p = p_max * (q_avg / R - q_min) / (q_max - q_min)
    end
end

function RED(du, u, param, t)
    w, q, q_avg = u
    if w < w_max
        du[1] = 1.0 / T(q) - (w / 2) * w * p(q_avg) /
T(q)
    else
        du[1] = - (w / 2) * w * p(q_avg) / T(q)
    end
    du[2] = N * w / T(q) - C(q)
    du[3] = wq * C(q) * (q - q_avg)
end

function  $\sigma$ _RED(du, u, param, t)
    w, q, q_avg = u

    du[1] = sqrt(1.0 / T(q) + ((w / 2) * w * p(q_avg) /
T(q)))
    if ((N * w / T(q) - C(q)) < 0)
        du[2] = 0.0
    else
        du[2] = sqrt(N * w / T(q) - C(q))
    end
    du[3] = 0.0
end

function condition_w_max(u, t, integrator)
    global w_max
    u[1] >= w_max
end

```

```

function affect_w_max!(integrator)
    global w_max
    for c in full_cache(integrator)
        c.u[1] = w_max
    end
end

function condition_Rq(u,t,integrator)
    global R
    u[2] >= R
end

function affect_Rq!(integrator)
    global R
    for c in full_cache(integrator)
        c.u[2] = R
    end
end

function condition_Rq_avg(u,t,integrator)
    global R
    u[3] >= R
end

function affect_Rq_avg!(integrator)
    global R
    for c in full_cache(integrator)
        c.u[3] = R
    end
end

# объявление callback'ов
save_positions = (true,true)
cb_w_max = DiscreteCallback(condition_w_max,
affect_w_max!, save_positions=save_positions)
cb_Rq = DiscreteCallback(condition_Rq, affect_Rq!,
save_positions=save_positions)
cb_Rq_avg = DiscreteCallback(condition_Rq_avg,
affect_Rq_avg!, save_positions=save_positions)

# контейнер для callback'ов
Clbsset = CallbackSet(PositiveDomain(), cb_w_max, cb_Rq,
cb_Rq_avg)

prob_sde_RED = SDEProblem(RED,  $\sigma_{RED}$ , u0, tspan)

# вызов решателя

```

```

sol = solve(prob_sde_RED, EM(), dt=dt, callback =
Cbsset)

# построение графиков
pyplot(size = (500, 300))
plot(sol, vars = (1),
      labels = L"W",
      xlabel = "time, [sec]",
      ylabel = "packages, [pkg]",
      color = :black
    )

plot(sol, vars = (2),
      labels = L"Q",
      xlabel = "time, [sec]",
      ylabel = "packages, [pkg]",
      color = :black
    )

# ансамблевое моделирование
ensembleprob = EnsembleProblem(prob_sde_RED)
sim = solve(ensembleprob, EM(), dt=dt, callback =
Cbsset, trajectories=100)

summ = EnsembleSummary(sim, 0:dt:tf)

# построение среднего и дисперсии по ансамблю
pyplot(size = (500, 300))
plot(summ,
      idxs = (1,), # w(t)
      fillalpha=0.2,
      labels = L"W",
      legend = :topright,
      xlabel = "time, [sec]",
      ylabel = "packages, [pkg]",
      color = :black,
      line = (:line,1)
    )

plot(summ,
      idxs = (2,), # q(t)
      fillalpha=0.2,
      labels = L"Q",
      legend = :topright,
      xlabel = "time, [sec]",
      ylabel = "packages, [pkg]",
      color = :black,
      line = (:line,1))

```